

میکروفاسیس، محیط رسوبی و دیاژنز سازند دالان در چاه شماره X در میدان گازی پارس جنوبی

رقیه فلاح بگتاش، دانشجوی کارشناسی ارشد زمین‌شناسی، دانشگاه شهید بهشتی*

محمدحسین آدابی، استاد گروه زمین‌شناسی، دانشگاه شهید بهشتی

بهرام موحد، رئیس پتروفیزیک و سرپرست پروژه‌های نفت و گاز شرکت پارس جنوبی

علی کدخدائی ایلخچی، استادیار گروه زمین‌شناسی دانشگاه تبریز

چکیده

سازند دالان به سن پرمین به همراه سازند کنگان به سن تریاس به عنوان بزرگترین مخزن گازدار در منطقه زاگرس و خلیج فارس، حدود ۵۰ درصد از ذخایر گازی را به خود اختصاص داده‌اند. سازند دالان با رخساره کربناته و تبخیری مابین سازند تخریبی فراقون در پایین و کربنات‌های کنگان در بالا قرار گرفته است. هدف از انجام این مطالعه، شناسایی میکروفاسیس‌ها و تفسیر محیط رسوبی و فرآیندهای دیاژنزی سازند دالان در چاه شماره X در میدان گازی پارس جنوبی می‌باشد. مطالعات میکروسکوپی منجر به شناسایی ۴ رخساره با حروف اختصاری A، B، C، D گردیده است که این رخساره‌ها از نظر محیط رسوب‌گذاری به ۴ کمر بند رخساره‌ای تعلق دارند به طوری که رخساره‌های A در محیط جزرومدی، رخساره‌های B در محیط لاگون، رخساره‌های C در محیط پشته کربناته و رخساره‌های D در محیط دریای باز بر جای گذاشته شده‌اند. با توجه به میکروفاسیس‌های شناسایی شده، این توالی کربناته بر روی یک پلاتفرم کربناته از نوع رمپ هموکلینال نهشته شده است. براساس مطالعات پتروگرافی، سازند دالان تحت تأثیر فرآیندهای دیاژنزی مختلفی از جمله دولومیتی‌شدن، سیمانی‌شدن، انحلال، میکریتی‌شدن، استیلولیتی‌شدن و تراکم فیزیکی و تراکم شیمیایی قرار گرفته است که به لحاظ فرآیندهای دیاژنزی سیمان انیدریتی بعد از پدیده دولومیتی‌شدن غالب‌ترین فرآیند دیاژنزی در این سازند می‌باشد. تخلخل‌های اولیه شامل تخلخل درون دانه‌ای، بین دانه‌ای، و تخلخل‌های ثانویه شامل کانالی، شکستگی، بین‌بلوری، فنسترال و قالبی از جمله تخلخل‌های مشاهده شده در این سازند می‌باشند و تخلخل قالبی فراوانترین تخلخل مشاهده در این سازند است.

واژه‌های کلیدی: سازند دالان، محیط رسوبی، دیاژنز، پارس جنوبی.

مقدمه

را متحمل شده‌اند و در نتیجه خصوصیات مخزنی آنها نیز متفاوت است.

موقعیت جغرافیایی میدان گازی پارس جنوبی

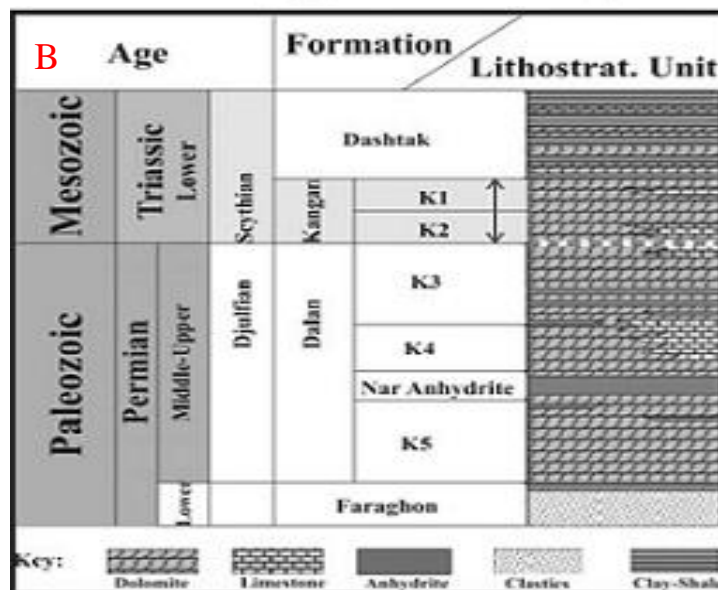
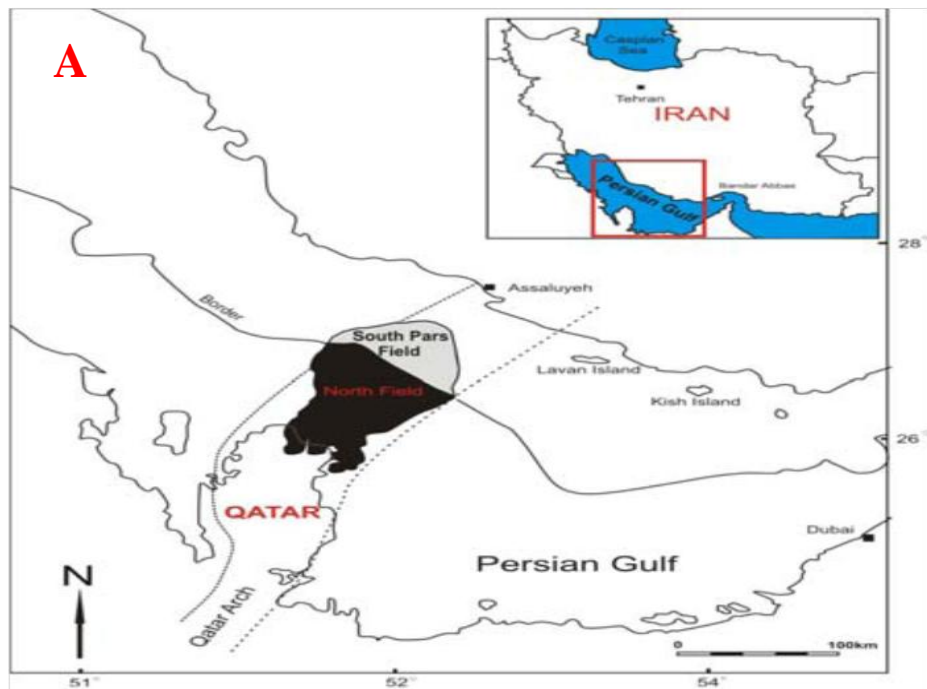
میدان پارس جنوبی در موقعیت ۵۲ تا ۵۲٫۵ درجه شرقی و ۲۶٫۵ تا ۲۷ درجه شمالی، در حدود ۱۰۰ کیلومتری بندر عسلویه، ۱۷۵ کیلومتری بندر کیش، ۱۰۵ کیلومتری سواحل قطر واقع شده است. میدان مزبور وسعتی بالغ بر ۶۰۰۰ کیلومتر مربع را شامل می‌شود. آنچه در نقشه‌های منطقه قابل مشاهده است، پارس جنوبی (گنبد شمالی قطر) دارای طول تقریبی ۱۵۰ کیلومتر و عرض تقریبی ۷۰ کیلومتر می‌باشد (شکل ۱).

روش مطالعه

جهت شناسایی و بررسی رخساره‌ها و فرآیندهای دیاژنزی و تعیین محیط رسوبی سازند دالان، تعداد ۸۵۶ عدد مقطع نازک تهیه شده از مغزه‌های حفاری مورد مطالعه قرار گرفته است. این مقاطع توسط محلول آلیزارین (Red-S) و فروسیانید به منظور تشخیص مینرال کلسیت از دولومیت به روش دیکسون (Dickson 1965) رنگ‌آمیزی شده است. برای مطالعه آهک‌ها از طبقه‌بندی دانهام (Dunham 1962)، برای نامگذاری دولومیت‌ها از تقسیم‌بندی آدابی (Adabi 2009) و در توصیف میکروفاسیس‌ها از تقسیم‌بندی فلوگل (Flügel 2010) استفاده گردیده است.

سازند دالان به سن پرمین به همراه سازند کنگان به سن تریاس در حوضه رسوبی خلیج فارس، حدود ۵۰ درصد از ذخایر گازی را دارا می‌باشند (Konyuhov and Maleki 2006). سازند دالان در نواحی زاگرس چین‌خورده و بخش‌های وسیعی از خلیج فارس به عنوان اصلی‌ترین سازند گازدار به شمار می‌رود (Kashfi 2000). از نظر خصوصیات مخزنی این سازند به سه واحد مخزنی K3 و K4 (دالان بالایی) و K5 (دالان پایینی) تقسیم می‌شود که زون K4 غنی‌تر از زون‌های دیگر است. بخش انیدریتی نار بین لایه‌های k4 و k5 قرار گرفته و بخش‌های دالان پایینی و دالان بالایی را از هم جدا می‌کند. بخش‌های پایینی و بالایی شامل رسوبات کربناته بوده که در اثر تغییرات دیاژنزی در حال حاضر از نظر سنگ‌شناسی از ترکیب سنگ آهک، دولومیت و انیدریت تشکیل شده‌اند.

هدف از انجام این مطالعه بررسی رخساره‌های میکروسکوپی و تعیین محیط رسوبی سازند دالان می‌باشد. نوع رخساره در نوع و شدت تأثیر پدیده‌های دیاژنتیکی بسیار اثرگذار است. نوع محیط و موقعیت آن در حوضه رسوبی نیز در تغییرات ویژگی‌های مخزنی موثر بوده است به طوری که رخساره‌های نزدیک به ساحل به دلیل مجاورت و تأثیرپذیری بیشتر از سیالات فوق‌العاده شور و سایر سیالات، فرآیندهای دیاژنزی متفاوتی



شکل ۱- A: موقعیت جغرافیایی میدان پارس جنوبی و B: ستون چینه‌شناسی سازند دالان در میدان گازی پارس جنوبی (اقتباس از Aali et al. 2006).

به تقسیم سازندهای کنگان و دالان به پنج بخش مخزنی k1, k2, k3, k4, k5 گردید. در واقع لایه‌های مخزنی k1 و k2 معادل سازند کنگان، k3 و k4 معادل بخش دالان بالایی و k5 معادل بخش غیرمخزنی دالان پایینی

چینه‌شناسی سازند دالان

در مقطع مورد مطالعه سازند دالان به سن پرمین و ضخامت ۳۷۱ متر از لیتولوژی غالب آهک و دولومیت تشکیل شده است. مطالعات قبلی بر روی این میدان منجر

می‌باشند. بخش انیدریتی نار بین لایه‌های k4 و k5 قرار گرفته و بخش‌های دالان پایینی و دالان بالایی را از هم جدا می‌کند (Szabo and Kheradpir 1978).

میکروفاسیس‌ها

مطالعه مقاطع نازک منجر به شناسایی ۱۸ میکروفاسیس مربوط به ۴ کمر بند رخساره‌ای پهنه جزرومدی، لاگون، پشته کربناته و دریای باز می‌باشد که در زیر به بررسی هر یک از این رخساره‌ها می‌پردازیم.

رخساره A (کمر بند رخساره‌ای پهنه جزرومدی)

A_۱: دولومادستون با فابریک فنسترال

این میکروفاسیس شامل مادستون دولومیتی شده با آلوکم کمتر از ۲ درصد با فابریک فنسترال می‌باشد. نبود آثار زیستی، آغشتگی به اکسید آهن و وجود فابریک فنسترال می‌تواند نشان‌دهنده خروج موقت رسوبات از آب باشد.

تفسیر: وجود مادستون دولومیتی با فابریک فنسترال به عنوان رسوب‌گذاری در زیر محیط بالای جزرومدی تفسیر می‌شود (Adabi and Asadi 2008). این رخساره فاقد آلوکم‌های فراوان بوده و شواهد بافتی و رسوب‌شناسی آن نظیر ساخت فنسترال، گرهک‌های انیدریت، ترک‌های گلی مبین تشکیل در محیط بین جزرومدی تا بالای جزرومدی در اقلیم گرم و خشک است. این رخساره معادل RMF 22 فلوگل (۲۰۱۰) می‌باشد (شکل ۲-A_۱).

A_۲: بایندستون استروماتولیتی با فابریک فنسترال

در این میکروفاسیس استروماتولیت‌ها دارای حالت منظمی در ساختمان بایندستونی می‌باشند که دارای

مقادیر بسیار ناچیز از آلوکم‌های مختلف بوده و صرفاً از میکریت و جلبک ساخته شده است. رخساره‌های میکروبی (استروماتولیت‌ها و ترومبولیت‌ها) عوارض تپییک محیط‌های بین جزرومدی می‌باشند (Shinn 1983).

تفسیر: استروماتولیت‌ها در زیر محیط سبختا تا بین جزرومدی حفظ و تشکیل می‌شوند (Palma et al. 2007). از لحاظ چینه‌شناسی این رخساره در طول پیشروی آب دریا تحت نرخ رسوب‌گذاری پایین یا عدم رسوب‌گذاری در یک محیط کم انرژی گسترش می‌یابد (Mancini et al. 2004). وجود عوارضی مانند ترک‌های گلی، فابریک فنسترال و قالب‌های تبخیری همگی مبین تشکیل این رخساره در بخش‌های بالای منطقه جزرومدی در اقلیم گرم و خشک هستند. این رخساره معادل RMF 23 فلوگل (۲۰۱۰) می‌باشد (شکل ۲-A_۲).

A_۳: مادستون/وکستون پلوئیدی اینتراکستی

قطعات اینتراکستی با فراوانی بالای ۲۰ درصد اجزای اصلی این رخساره را تشکیل می‌دهند که در یک زمینه میکریتی و تا حدودی انیدریتی شده قرار دارند. قطعات اینتراکستی فاقد ساختمان داخلی بوده و عمدتاً میکریتی می‌باشند و از جورشدگی ضعیفی برخوردار می‌باشند. در برخی قسمت‌ها به صورت پراکنده آثاری از پلوئید مشاهده می‌شود.

تفسیر: یکی از مکانیسم‌های تشکیل قطعات اینتراکستی شکسته شدن رسوبات خشک‌شده در زون سوپراتایدال بخصوص گل‌های آهکی سخت شده می‌باشد (Boggs 2009). بنابراین محیط تشکیل این رخساره را می‌توان به محیط سوپراتایدال نسبت داد. این

می‌شوند. بنابراین این رخساره به عنوان نهشته‌های بالای جزرومدی تفسیر شده است (Insalaco et al. 2006). توسعه ندول‌های انیدریتی گاهی به حدی می‌رسد که تشکیل انیدریت با فابریک قفس پرنده‌ای^۱ را می‌دهد (Warren 2006).

تفسیر: رسوبات سبخایی در بین جزرومد بالایی و بالای جزرومدی به وسیله بلورهای پراکنده انیدریت به طوری که هر چه به سمت خشکی می‌رویم به وسیله ندول‌های انیدریتی و انیدریت با فابریک قفس پرنده‌ای مشخص می‌شوند (Flügel 2010). این رخساره معادل RMF 25 فلوگل (۲۰۱۰) می‌باشد (شکل ۲-۵A).

A۶: انیدریت متبلور (لایه‌ای)

در این رخساره لایه انیدریت شامل ترکیبی از بلورهای هم‌بعد و بلورهای درهم بافته و با آرایش موازی و نیمه موازی و در مواردی همراه با بلورهای دولومیتی می‌باشد. در توالی مورد مطالعه از سازند دالان، لایه انیدریت به طور متناوب با رخساره‌های ریزبلور دولومادستونی مشاهده می‌شود. لایه انیدریت به صورت یکنواخت بوده و فاقد هرگونه ساخت رسوبی و آثار فسیلی می‌باشد.

تفسیر: این انیدریت احتمالاً به صورت بلورهای ژپس از شورابه‌های سبخایی^۲ تشکیل شده و سپس در اثر فرآیند از دست دادن آب به انیدریت تبدیل شده است (Lucia 2007). این رخساره مربوط به زیر محیط سبخای بالای جزرومدی بوده و معادل RMF 25 فلوگل (۲۰۱۰) می‌باشد (شکل ۲-۶A).

رخساره معادل RMF 24 فلوگل (۲۰۱۰) می‌باشد (شکل ۲-۶A).

A۴: دولومادستون با بلورها و قالب‌های پراکنده انیدریت

بلورها و قالب‌های انیدریتی در اشکال و اندازه‌های مختلف و به صورت پراکنده در رخساره‌های مادستونی و دولومادستونی گسترش یافته‌اند. این رخساره فاقد فسیل و ساخت رسوبی می‌باشد.

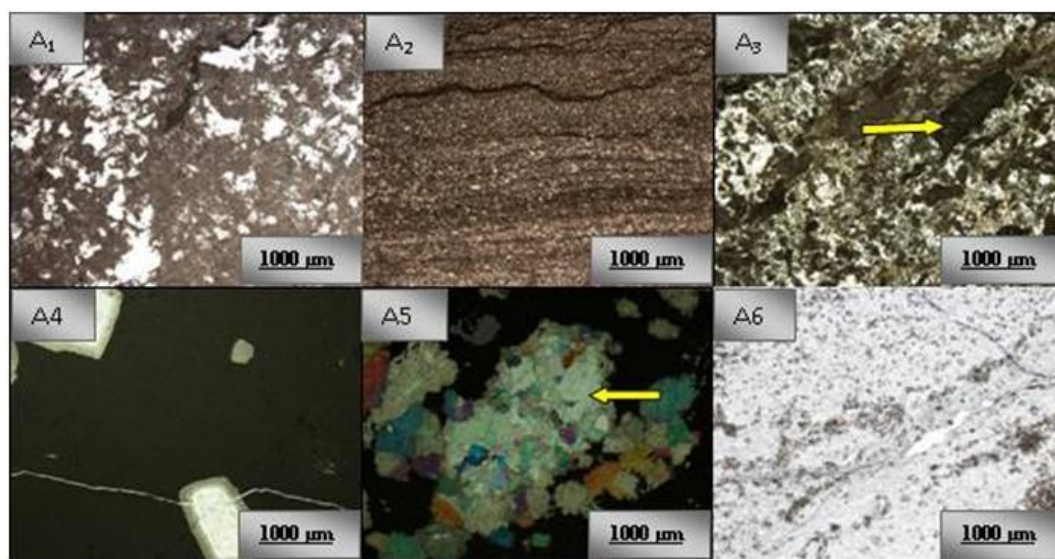
تفسیر: وجود بلورهای پراکنده تبخیری در ماتریکس کلسیتی یا دولومیتی در رخساره‌های گل پشتیبان نشان‌دهنده رسوب‌گذاری در محیط‌های با درجه شوری بالا در اقلیم گرم و خشک بخش بین پهنه جزرومدی تا بالای جزرومدی (سبخا) می‌باشد (Flügel 2010). همراهی این رخساره با رخساره دولومادستون دارای ندول‌های انیدریتی و مشاهده ندول‌های انیدریتی در برخی مواقع نشان‌دهنده نزدیکی محیط رسوبی این رخساره‌هاست. ندول‌های پراکنده در مادستون‌ها عمدتاً مربوط به محیط‌های بالای جزرومدی (سبخا) می‌باشد (Warren 2006). قطع شدگی بلورها با عوارض دیاژنزی از قبیل استیلولیت و شکستگی نشان‌دهنده تشکیل بلورها قبل از عوارض دیاژنزی است. این رخساره معادل RMF 25 فلوگل (۲۰۱۰) می‌باشد (شکل ۲-۶A).

A۵: دولومادستون با ندول‌های انیدریتی

در این میکروفاسیس مخلوطی از دولومادستون که دارای لامیناسیون و ندول‌های انیدریتی هستند، مشاهده می‌شود. ندول‌های انیدریت معمولاً طی مراحل اولیه دیاژنز در محیط‌های سبخایی و در رسوبات دانه ریز تشکیل

¹ Chickenwire

² Hypersaline-Sabkha



شکل ۲- A₁: دولومادستون با فابریک فنسترال (آثار فنسترال توسط انیدریت پر شده‌اند، محیط جزرومدی، مقطع شماره ۱۰۴، عمق ۲۹۹۹،۷۶ متر، PPL)، A₂: بایندستون استروماتولیتی (محیط جزرومدی، مقطع شماره ۵۵، عمق ۲۹۷۰،۵۷ متر، PPL)، A₃: پکستون اینتراکستی (اینتراکست‌ها توسط فلش زرد نشان داده شده‌اند، محیط جزرومدی، مقطع شماره ۱۶۷، عمق ۳۰۲۷،۰۹ متر، PPL)، A₄: دولومادستون با بلورها و قالب‌های پراکنده انیدریت (بلور انیدریت توسط شکستگی ریز قطع شده است، محیط جزرومدی، مقطع شماره ۴۵۳، عمق ۳۱۴۳،۵۷ متر، PPL)، A₅: دولومادستون با ندول‌های انیدریتی (محیط جزرومدی، مقطع شماره ۵۱۹، عمق ۳۱۶۶،۹۱ متر، XPL)، A₆: انیدریت متبلور (همراه با بلورهای دولومیتی، محیط جزرومدی، مقطع شماره ۱۰۳، عمق ۲۹۹۹،۳۸ متر، PPL).

رخساره B (کمبرند رخساره‌ای لاگون)

(B₁).

B₁: مادستون بایوکلاست‌دار

این رخساره کاملاً میکریتی بوده و دارای کمتر از ده درصد بایوکلاست می‌باشد. اجزای اسکلتی در این رخساره شامل قطعات فرامینی‌فر می‌باشد. از ویژگی‌های دیاژنتیکی این رخساره می‌توان به انحلال، تراکم، استیلولیت، دولومیتی شدن و آهن‌دار شدن اشاره کرد.

تفسیر: با توجه به وجود فرامینفر از نوع تکستولاریا که شاخص محیط لاگون می‌باشد محیط تشکیل این رخساره را می‌توان به لاگون نسبت داد (Geel 2000; Bassi et al. 2007). این رخساره معادل RMF 19 فلوگل (۲۰۱۰) می‌باشد (شکل ۳-۳).

B₂: مادستون/وکستون بایوکلاستی دارای

آشفتگی زیستی

از ویژگی‌های این رخساره وجود آشفتگی زیستی در زمینه سنگ می‌باشد که توسط موجودات مختلف به وجود آمده است. اجزای اسکلتی عمدتاً شامل فرامینفرهای بتیک، گاستروپودها و قطعات دوکفه‌ای و جلبکی می‌باشند که در یک زمینه میکریتی قرار گرفته‌اند. در برخی قسمت‌ها آلوکم‌هایی نظیر پلوئید و ائید نیز به صورت پراکنده دیده می‌شوند.

تفسیر: شدت آشفتگی زیستی در زون‌های پایین

B۴: گرینستون جلبکی

قطعات جلبکی (جلبک سبز از نوع داسی کلا داسه) از مهمترین اجزای تشکیل دهنده این رخساره می باشند که گاهی فراوانی آنها به بیش از ۵۰ درصد نیز می رسد. از دیگر اجزای بایوکلاستی با درصد کم در این رخساره می توان به فرامینفرهای بتیک از جمله میلیولید، گاستروپود و دوکفه ای ها اشاره نمود. در این رخساره سیمان پوئیکیلوتوپیک انیدریتی قطعات بایوکلاستی را دربر گرفته است.

تفسیر: جلبک های سبز (داسی کلا داسه) در دریای کم ژرفای گرم با چرخش محدود آب همراه با پلوئید به طور معمول در لاگون پشت سد فراوان هستند (Tucker 1990; Geel 2000; Hips and Hass 2006). این رخساره معادل RMF 20 فلوگل (۲۰۱۰) می باشد (شکل ۳-B۴).

B۵: پکستون بایوکلاستی

قطعات بایوکلاستی با فراوانی بالای ۳۰ درصد مهمترین اجزای تشکیل دهنده این رخساره می باشند که می توان به قطعات جلبکی (داسی کلا داسه، Permoaleulus)، فرامینفرهای بتیک، گاستروپود و دوکفه ای اشاره کرد. وجود فرامینفرهای بتیک به همراه جلبک آهکی نشان دهنده رسوب گذاری در محیط لاگون است (Flügel 2010; Adabi et al. 2010).

تفسیر: میکریتی شدن اجزای اسکلتی به خصوص فرامینفرها و نبود سیمان های دریایی نشان دهنده انرژی پایین محیط لاگون می باشد (Tucker and Wright 1990). Globivalvulina, Paraglobivalvulina از فرامینفرهای کوچک بتیک

جزرومدی و بین جزرومدی پایینی به طور گسترده ای وجود دارد (Shine 1983)، در حالی که در رسوبات بالای جزرومد بالایی و بالای جزر و مدی به دلیل رخنمون یافتگی شدید موجودات بسیار کمتری برای ایجاد آشفستگی زیستی حضور دارند به طوری که آشفستگی زیستی در محیط لاگون به شدت توسعه یافته است (Tucker and Wright 1990). آشفستگی زیستی به خوبی در محیط های لاگونی گسترش می یابد و رخساره های غنی از گل در شرایط کم انرژی و زیر سطح FWWB نهشته می شوند (Flügel 2010). اینسالاکو و همکاران (Insalaco et al. 2006) این رخساره را به عنوان مادستون های دور از زون ایتترتایدال در محیط لاگونی معرفی می کنند. این رخساره معادل RMF 19 فلوگل (۲۰۱۰) می باشد (شکل ۳-B۴).

B۶: پکستون آنکوئیدی

در این رخساره سنگی آنکوئیدها با فراوانی بالای ۴۰ درصد مهمترین اجزای کربناته را تشکیل می دهند که در زمینه ای از کلسیت اسپاری قرار گرفته اند. لیتولوژی این رخساره بین آهک و آهک دولومیتی متغیر می باشد. آنکوئیدها در این رخساره دارای شکل نامنظم و اندازه بزرگ و اغلب انحلال یافته و دولومیتی شده اند.

تفسیر: آنکوئیدهای با اندازه بزرگتر و قشر میکریتی ضخیم تر در شرایط محیطی آرام و کم انرژی تشکیل شده اند. علاوه بر آنکوئیدها در برخی از نمونه ها، ائیدها نیز در بخش هایی از این رخساره دیده می شوند. این رخساره معادل RMF 21 فلوگل (۲۰۱۰) می باشد (شکل ۳-B۶).

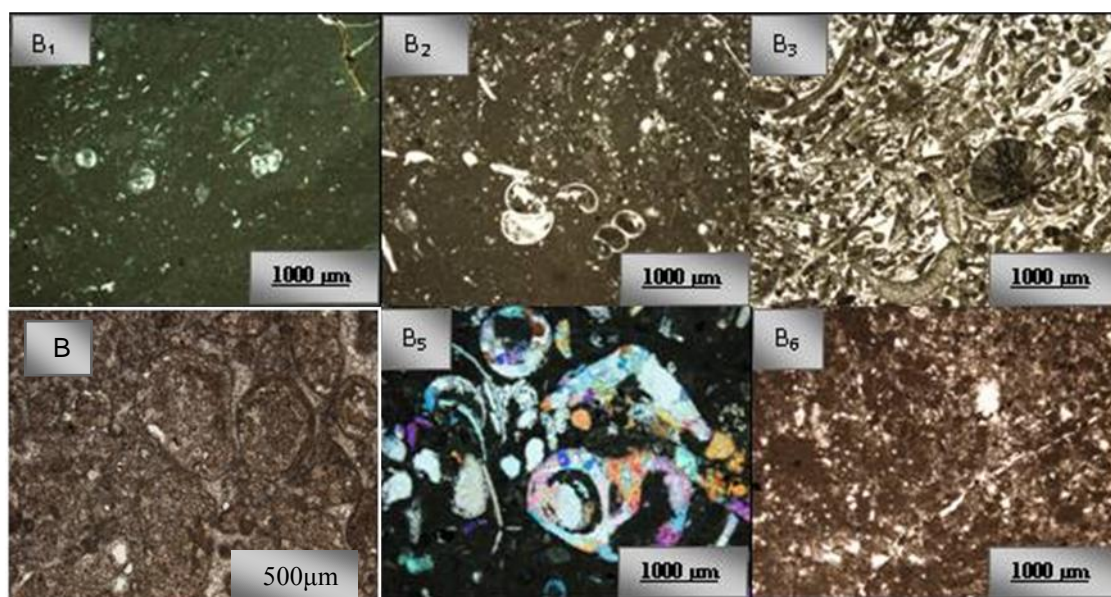
توجه به حضور گاستروپود و دوکفه‌ای، حداقل بخشی از پلوئیدها می‌توانند منشأ دفعی داشته باشند. علاوه بر این زاویه‌دار بودن آنها منشأ لیتوکلاستی را هم نشان می‌دهد (Tucker and Wright 1990; Flügel 2010).

تفسیر: اغلب پلت‌ها در همان مراحل اولیه یا طی تدفین از بین می‌روند، سیمانی‌شدن سریع و اولیه و همچنین رسوب‌گذاری سریع در انرژی پایین می‌تواند باعث حفظ‌شدگی این ذرات شود، بنابراین لاگون‌ها (به ویژه شرایط فوق‌العاده شور)، فلات‌های جزرومدی کم انرژی محل‌های مناسبی برای نهشت این اجزا می‌باشند (Scholle and Scholle 2006). این رخساره معادل RMF 20 فلوگل (۲۰۱۰) می‌باشد (شکل ۳-۶B).

مشاهده شده در این رخساره می‌باشند. این رخساره معادل RMF 20 فلوگل (۲۰۱۰) می‌باشد (شکل ۳-۶B).

B_۱: وکستون/پکستون پلوئیدی

در این رخساره سنگی، پلت‌های مدفوعی و پلوئیدها اجزای اصلی کربناته را تشکیل می‌دهند. پلت‌ها تقریباً از گردش‌دگی و جورشدگی خوبی برخوردارند و دارای شکل منظم و فاقد ساختمان داخلی می‌باشند. بایوکلاست‌هایی نظیر خارپوست، گاستروپودها، قطعات جلبکی و دوکفه‌ای نیز در این رخساره مشاهده می‌شود. در این رخساره فراوانی پلوئیدها افزایش و میزان فرامینفرها کاهش می‌یابد. تشخیص منشأ پلوئیدها آسان نیست ولی با



شکل ۳- B_۱: مادستون بایوکلاست‌دار (محیط لاگون، مقطع شماره ۳۸۰، عمق ۳۱۰۸،۴۵ متر، PPL)، B_۲: دولومادستون-وکستون دارای آشفستگی زیستی (دارای فسیل گاستروپود که میکریتی و انیدریتی‌شده است، محیط لاگون، مقطع شماره ۳۷۴، عمق ۳۱۰۴،۱۹ متر، PPL)، B_۳: گرینستون جلبکی (قطعات جلبکی در زمینه‌ای از انیدریت قرار گرفته است، محیط لاگون، مقطع شماره ۳۶۷، عمق ۳۱۰۱،۱۵ متر، PPL)، B_۴: پکستون آنکوئیدی (آنکوئیدها توسط دولومیت جانشین شده‌اند، مقطع رنگ‌آمیزی شده، محیط جزرومدی، مقطع شماره ۲۵۴، عمق ۳۰۵۷،۶۹ متر، PPL)، B_۵: پکستون بایوکلاستی (فضاهای خالی حاصل از انحلال قطعات بایوکلاستی توسط سیمان انیدریتی پر شده‌اند، محیط لاگون، مقطع شماره ۴۸۶، عمق ۳۱۵۵،۹۱ متر، XPL)، B_۶: پکستون پلوئیدی (محیط لاگون، مقطع شماره ۹۷، عمق ۲۹۹۶،۷۳ متر، PPL).

رخساره C (کمر بند رخساره‌ای پشته کربناته)**C_۱: گرینستون پلوئیدی انیدی**

پلوئیدهای کوچک و انیدهایی که عمدتاً میکریتی شده‌اند اجزای اصلی این رخساره را تشکیل می‌دهند. همچنین بایوکلاست‌هایی نظیر دوکفه‌ای و فرامینیفرهای میکریتی شده در این رخساره دیده می‌شوند. پلوئیدها احتمالاً از میکریتی شدن انیدهای آراگونیتی تشکیل شده‌اند. انیدهای این رخساره اکثراً آراگونیتی می‌باشند که در مراحل مختلف دیاژنز انحلال یافته و یا بوسیله سیمان انیدریتی ثانویه جایگزین شده‌اند. در برخی موارد انیدهای مذکور تحت تأثیر میکروارگانیسیم‌های موجود در آب دریا به سرعت و پس از رسوب‌گذاری به طور کامل و جزئی میکریتی شده‌اند. در چنین حالتی امکان تمایز پلوئیدها از انیدهای میکریتی مشکل است.

تفسیر: فراوانی کم انید، حضور پلوئید، همراهی با رخساره‌های کم انرژی تر، میکریتی شدن و افزایش میزان بایوکلاست‌های لاگونی، تشکیل این رخساره را در سمت رو به لاگون پشته‌های سدی نشان می‌دهد. شرایط نهشت این رخساره یک محیط میان کشندی با انرژی متوسط تا نسبتاً بالاست. محیط نهشت این رخساره را می‌توان Shallow Subtidal یا Leeward Shoal در نظر گرفت. این رخساره معادل RMF 30 فلوگل (۲۰۱۰) می‌باشد (شکل ۴-C_۱).

C_۲: گرینستون انیدی

انیدها با فراوانی بالای ۸۰ درصد مهمترین اجزای تشکیل دهنده این رخساره می‌باشند که در یک زمینه سیمان اسپاری قرار گرفته‌اند و آثاری از گل دیده نمی‌شود. انیدها عمدتاً میکریتی و دولومیتی شده‌اند. این رخساره به عنوان اصلی‌ترین رخساره

مخزنی سازند دالان می‌باشد که عمدتاً از انیدهای آراگونیتی انحلال یافته یا جانشین شده تشکیل شده است. سایر آلوکوم‌ها نظیر بایوکلاست‌های دولومیتی شده و در مواردی آهکی و پلوئیدها و لیتوکلاست‌ها نیز در ارتباط با این رخساره می‌باشند. دامنه تغییرات بافتی این رخساره از گرینستون الیتی خالص تا گرینستون انیدی-پلوئیدی و انیدی-بایوکلاستی متغیر است. ظهور این حجم از انیدهای آراگونیتی در ارتباط با تغییرات جهانی سطح آب دریا و تا حدود زیادی به افت نسبی سطح آب دریا در اواخر پرمین برمی‌گردد (Miall 1991, 1995). از ویژگی‌های این رخساره می‌توان به جورشدگی و گردشدگی خوب انیدها اشاره نمود. به علت انرژی محیط پشته کربناته، سیمان‌های دریایی مختلف مانند سیمان فیبری هم‌ضخامت و تیغه‌ای در اطراف انیدها دیده می‌شود. هسته انیدها متفاوت بوده و از ذرات مختلفی مانند فرامینیفر، خارپوست، پلوئید و در برخی موارد انیدهای دیگر تشکیل شده است.

تفسیر: فراوانی بالای انید، عدم وجود گل و جورشدگی و گردشدگی خوب در این رخساره نشان دهنده شرایط با انرژی بالا و نهشت در بالاتر از سطح FWWB است (Flügel 2010; Insalaco et al. 2006). محیط نهشت این رخساره قسمت مرکزی پشته‌های کربناته^۱ می‌باشد. این رخساره معادل RMF 29 فلوگل (۲۰۱۰) می‌باشد (شکل ۴-C_۲).

C_۳: گرینستون انیدی ایتراکلاستی

ایتراکلاست و انید با فراوانی قابل توجه اجزای اصلی تشکیل دهنده این رخساره می‌باشند که در زمینه‌ای از سیمان اسپاری قرار گرفته‌اند و آثاری از

¹ Central shoal

سدهای محافظت‌کننده در برابر امواج دریایی مختلف (جریان‌های جزرومدی، طوفانی و دریایی) بیشترین میزان انرژی در محیط رسوبی حاکم است لذا پراورزی‌ترین رخساره‌ها یعنی رخساره‌های گرینستونی بایوکلاستی اینتراکلاستی دانه درشت تشکیل می‌گردند. با توجه به ارتباط مستقیم اندازه دانه و انرژی محیط می‌توان نتیجه گرفت که این رخساره در محیط پراورزی تشکیل شده است (Reading 1996). این رخساره بیانگر رسوب‌گذاری در پراورزی‌ترین بخش پشته‌های کربناته می‌باشد که به علت تخلخل بالا و دانه‌های نسبتاً درشت و ارتباط خوب انواع تخلخل‌ها با یکدیگر به عنوان بهترین سنگ مخزن دالان معرفی شده است (Lotfpour et al. 2000). این رخساره معادل RMF 27 فلوگل (۲۰۱۰) می‌باشد (شکل ۴-۴).

رخساره D (کمر بند رخساره‌ای دریای باز)

D_۱: وکستون/پکستون بایوکلاستی

قطعات بایوکلاستی با فراوانی بالای ۳۰ درصد مهمترین اجزا تشکیل دهنده این رخساره می‌باشند. لیتولوژی این رخساره آهک یا آهک دولومیتی است. اجزای بایوکلاستی این رخساره عمدتاً شامل قطعات براکیوپود و دوکفه‌ای و به مقدار کمتر قطعات فرامینفر و بریوزوئر می‌باشد. بایوکلاست‌ها جورشدگی خوبی ندارند.

تفسیر: این رخساره مربوط به نواحی انتهایی پلاتفرم کربناته است که بیانگر پیشروی سریع و ناگهانی دریا می‌باشد (لطف‌پور و همکاران ۱۳۸۴). محیط تشکیل این رخساره در زیر سطح اساس امواج طوفانی قرار دارد و لذا انرژی محیط غالباً کم است و شواهد حمل و نقل رسوبات توسط

گل دیده نمی‌شود. سیمان دریایی (فیبری هم‌ضخامت و تیغه‌ای) در حاشیه ذرات ائیدی و اینتراکلاستی تشکیل شده است. ذرات ائیدی و اینتراکلاستی عمدتاً دولومیتی و انحلال یافته‌اند. قطعات اینتراکلاستی دارای ساختمان داخلی بوده و قطعات سایر آلوکم‌ها به خصوص ائیدها در آنها دیده می‌شود.

تفسیر: وجود اینتراکلاست‌های گرد شده در کنار ائیدهای متحدالمرکز، عدم وجود گل و توسعه سیمانی شدن به خوبی نشان می‌دهد که این رخساره در بخش‌های پراورزی پشته کربناته بالای سطح اساس امواج عادی دریا تشکیل شده است (Wilson 1975; Tucker and Wright 1990). این رخساره بیانگر رسوب‌گذاری در بخش مرکزی پشته‌های کربناته^۱ می‌باشد. این رخساره معادل RMF 30 فلوگل (۲۰۱۰) می‌باشد (شکل ۴-۴).

C_۱: گرینستون اینتراکلاستی بایوکلاستی

قطعات اینتراکلاستی و بایوکلاستی مهمترین اجزای تشکیل دهنده این رخساره می‌باشند. فرامینفرهای بتتیک و قطعات جلبکی از مهمترین اجزای بایوکلاستی این رخساره می‌باشند. از دیگر آلوکم‌های مشاهده شده در این رخساره می‌توان به ائیدها، خارپوست، بریوزوئر و قطعات دوکفه‌ای با درصد فراوانی ناچیز اشاره کرد. سیمان دریایی هم‌ضخامت^۲ و تیغه‌ای به خوبی در اطراف ذرات بایوکلاستی و اینتراکلاستی توسعه یافته است به طوری که تمامی ذرات را دربر گرفته است.

تفسیر: در محیط‌های کربناته کم عمق، در بخش رو به دریای باز پشته‌های کربناته^۳ به علت عدم وجود

¹ Central shoal

² Isopachous Fibrous

³ Seaward Shoal

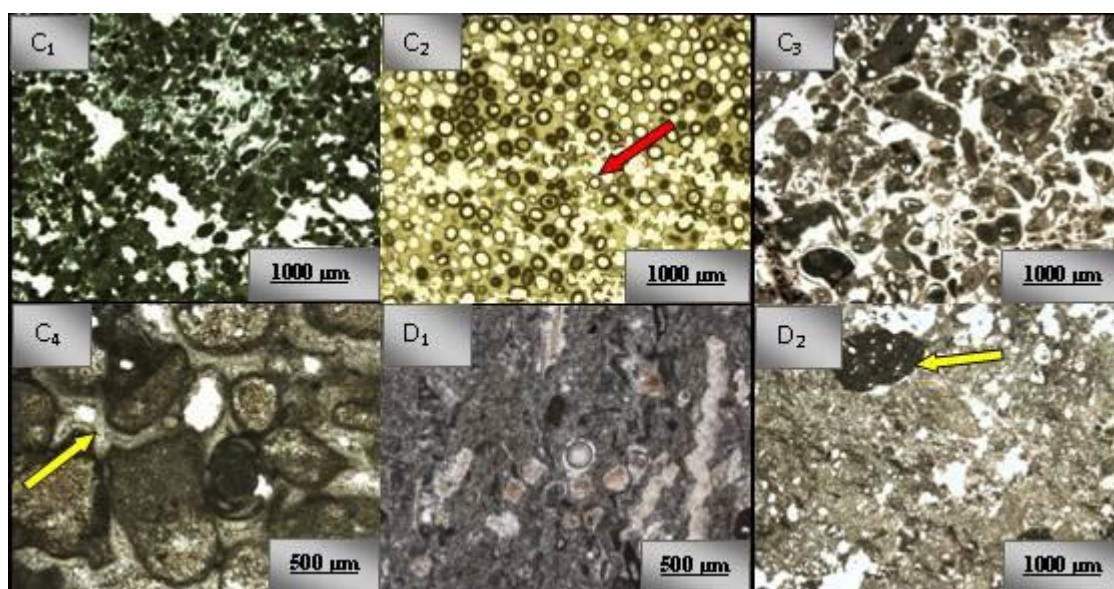
می‌باشد. فرآیندهای دیاژنتیکی این رخساره انحلال، میکریتی شدن، آهن‌دار شدن و شکستگی می‌باشد.

تفسیر: با توجه به وجود مقادیر زیاد گل در بین ذرات، وجود موجودات استنوهالین همانند کرینوتید و بریوزوئر می‌توان یک محیط با انرژی پایین و نرخ رسوب‌گذاری آرام برای ته‌نشست این رخساره در نظر گرفت که متناسب با محیط دریای باز است. این رخساره معادل 9 RMF فلوگل (۲۰۱۰) می‌باشد (شکل ۴-D₂).

جریان‌های دریایی کمتر مشاهده می‌گردد. این رخساره معادل 3 RMF فلوگل (۲۰۱۰) می‌باشد (شکل ۴-D₁).

D₂: پکستون بایوکلاستی همراه با ایتراکلاست‌های میکریتی

قطعات بایوکلاستی به همراه ایتراکلاست‌های میکریتی با فراوانی بالای ۲۰ درصد اجزای اصلی این رخساره را تشکیل می‌دهند. اجزای بایوکلاستی این رخساره شامل قطعات دوکفه‌ای و براکیوپود

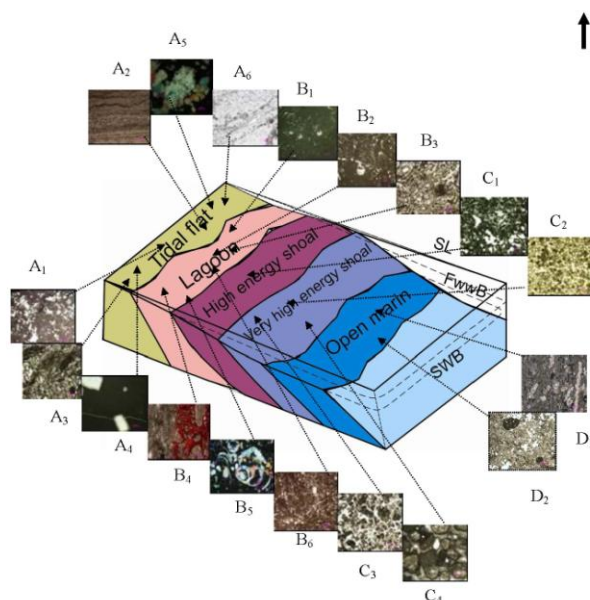


شکل ۴: C₁: گرینستون ائیدی پلوئیدی (قسمت رو به خشکی محیط پشته‌های کربناته، مقطع شماره ۸۳۳، عمق ۳۳۰۲،۹۵ متر، PPL)، C₂: گرینستون ائیدی (به دلیل انحلال در ائیدها تخلخل قالبی ایجاد شده است، تخلخل‌های قالبی از طریق استیلولیت به هم متصل شده و تخلخل کانالی (فلش قرمز) تشکیل شده است، تخلخل قالبی حاکی از انحلال اراگونیت در یک سیستم باز دیاژنتیکی است، محیط قسمت مرکزی پشته کربناته، مقطع شماره ۸۳۲، عمق ۳۳۰۲،۲۷ متر، PPL)، C₃: گرینستون ائیدی ایتراکلاستی (زمینه تا حدود زیادی دچار انحلال شده است و آلوکم‌ها دارای سیمان دریایی اولیه در حاشیه خود می‌باشند، قسمت مرکزی پشته کربناته، مقطع شماره ۸۲۱، عمق ۳۲۹۷،۴۳ متر، PPL)، C₄: گرینستون ایتراکلاستی بایوکلاستی (فرامینیفرهای بتیک به همراه ایتراکلاست‌ها اجزای اصلی این رخساره را تشکیل می‌دهند که فرامینیفرها تا حد زیادی میکریتی شده‌اند، سیمان اولیه دریایی در حاشیه ذرات تشکیل شده است (فلش زرد)، قسمت رو به دریای پشته کربناته، مقطع شماره ۶۷۷، عمق ۳۲۳۹،۹۳ متر، PPL)، D₁: پکستون بایوکلاستی (براکیوپودها اجزای اصلی تشکیل‌دهنده این رخساره می‌باشند، محیط دریای باز، مقطع شماره ۷۵۲، عمق ۳۲۶۸،۸۱ متر، PPL)، D₂: پکستون بایوکلاستی با ایتراکلاست‌های میکریتی شده (فلش زرد) (محیط دریای باز، مقطع شماره ۷۶۳، عمق ۳۲۷۴،۳۸ متر، PPL).

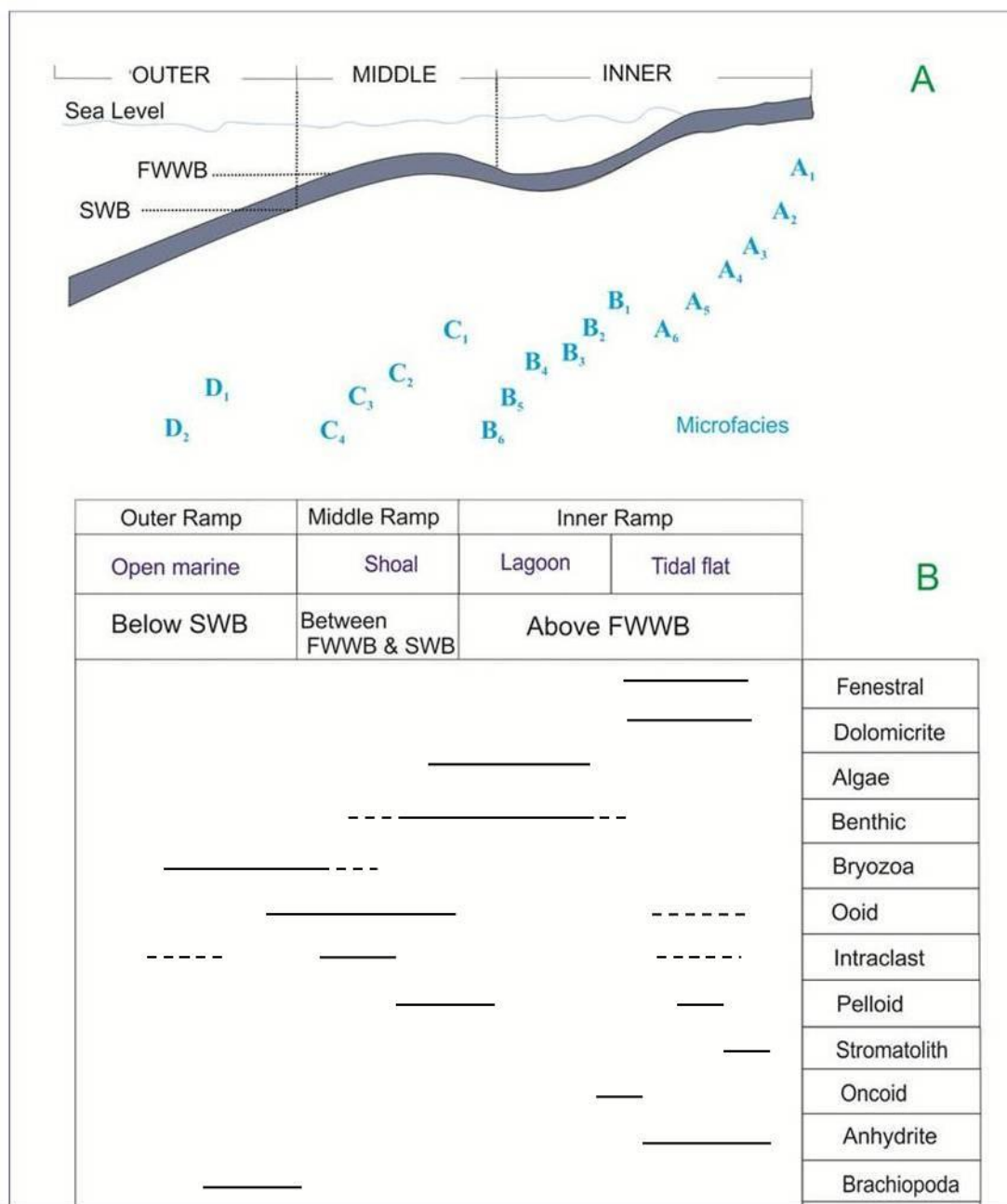
محیط رسوبی

رخساره‌های موجود در سازند دالان ویژگی‌های محیطی شاخص مربوط به سکانس‌های کربناته-تبخیری را نشان می‌دهند به این صورت که در قاعده چرخه با رخساره‌های پرانرژی سد بایوکلاستی و آئیدی رو به دریا شروع می‌شود و سپس رخساره سد مرکزی، سد رو به لاگون (خشکی) با انرژی متوسط، رخساره‌های محدودشده لاگون، پهنه جزرومدی و در نهایت رخساره‌های تبخیری مربوط به محیط سبخایی گسترش می‌یابند. براساس رخساره‌ها و کمرندهای رخساره‌ای شناسایی شده محیط رسوب‌گذاری را می‌توان یک رمپ کربناته هم‌شیب معرفی کرد (شکل ۵). براساس مطالعات قبلی (Rahimpour-

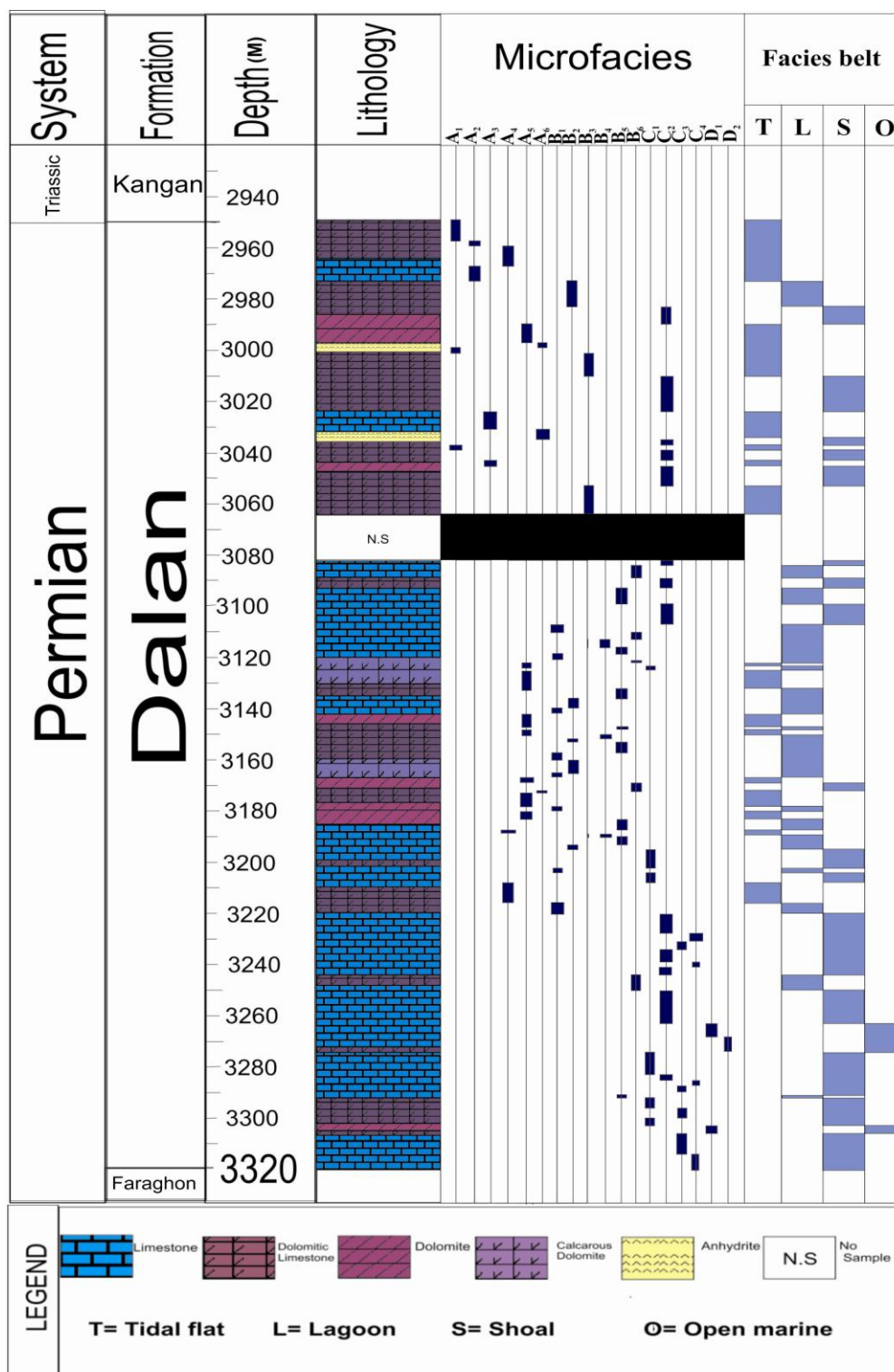
Bonab et al. 2009)، رمپ‌های کربناته اغلب در زون‌های فاقد موجودات ریف ساز گسترش یافته‌اند. زیرا این موجودات علاوه بر تولید رسوب، اثر سدی بر انرژی محیط دارند و بنابراین مورفولوژی و هیدرودینامیک حاکم بر محیط را تحت تأثیر قرار می‌دهند. انقراض دسته جمعی موجودات (Heydari et al. 2009) شرایط را برای گسترش رمپ‌ها مساعدتر کرده است. توالی تریاس زیرین همراه با انقراض عظیم موجودات در انتهای پرمین، یکی از دوره‌های گسترش رمپ‌های کربناته به علت نقش کم اهمیت موجودات ریف‌ساز است (Burchette and Wright 1992). (شکل ۶) پراکنندگی میکروفاسیس‌های شناسایی‌شده در سازند دالان را نشان می‌دهد.



شکل ۵- محیط رسوبی پیشنهادی برای سازند دالان به همراه میکروفاسیس‌های شناسایی‌شده



شکل ۶- پراکندگی میکروفاسیس‌ها در رمپ کربناته (A) و پراکندگی اجزا کربناتی تشکیل دهنده سازند دالان مربوط به کمرندهای رخساره‌ای مختلف (B).



شکل ۷- توالی رسوبی سازند دالان به همراه کمربندهای رخساره‌ای شناسایی شده در چاه شماره X. در این شکل، نحوه توزیع مجموعه‌های رخساره‌ای در توالی قائم نشان داده شده است.

دولومیکرواسپارایت، دولومیت نوع سوم یا دولواسپارایت و سیمان دولومیتی.

دولومیت نوع اول یا دولومیکرایت: دولومیت‌های بسیار ریز بلور که میانگین اندازه این دولومیت‌ها حدود ۱۰ میکرون می‌باشد (شکل ۸-۸A). در دولومیکرایت‌ها هیچ شواهدی وجود ندارد که نشان دهد که آنها تحت تأثیر فرآیندهای دیاژنتیکی تشکیل شده‌اند. لذا دولومیکرایت‌ها به عنوان دولومیت‌های تشکیل شده در مراحل اولیه رسوب‌گذاری تلقی می‌شوند. این دولومیت‌ها متراکم و فاقد تخلخل، بدون فسیل، همراه با آتاری از بافت رسوبی اولیه مثلاً لامیناسیون و اینتراکست می‌باشند (آدابی ۱۳۸۳). با توجه به فابریک و اندازه خیلی ریز بلورها، وجود ذرات پراکنده کوارتز در حد سیلت، حفظ بافت اولیه رسوبی و عدم وجود فسیل به نظر می‌رسد که این نوع دولومیت‌ها تحت شرایط سطحی، دمای پایین و در محیط‌های سوپراتایدال (بالای حد جزرومد) تا قسمت بالایی اینترتایدال تشکیل شده‌اند (Adabi 2009). آب دریا و یا محلول‌های بین‌ذره‌ای^۱ غنی از منیزیم احتمالاً عامل دولومیتی شدن می‌باشد (Adabi 2009).

دولومیت نوع دوم یا دولومیکرواسپارایت: این نوع دولومیت‌ها دارای اندازه‌ای بین ۱۶ تا ۶۲ میکرون می‌باشند و بر اثر تبلور مجدد دولومیکرایت‌ها حاصل شده‌اند (شکل ۸-۸B). در نمونه‌های که به طور جزئی تحت تأثیر فرآیند تبلور مجدد قرار گرفته‌اند، اثراتی از بافت اولیه دولومیکرایت‌ها به خوبی حفظ شده است (Adabi et al. 1996b). در سازند دالان دولومیت‌ها در زمینه کلسیتی پراکنده‌اند و این پدیده به این دلیل است که احتمالاً محلول دولومیت‌ساز تا حدودی نسبت به دولومیت اشباع‌شدگی پایینی دارد (Sibley and Gregg 1987).

دیاژنز: میکریتی شدن، دولومیتی شدن، سیمانی شدن، ایندریتی شدن، انحلال و تراکم از جمله فرآیندهای دیاژنزی مشاهده شده در سازند دالان می‌باشند.

میکریتی شدن

یکی از رایج‌ترین پدیده‌ها در واحدهای مجاور مرز پرموتریاس میکریتی شدن می‌باشد به طوری که تقریباً در اکثر رخساره‌های دانه پشתיبان که زمانی در شرایط آرامش در محیط رسوبی قرار گرفته‌اند اتفاق افتاده است. اصولاً در این رخساره‌ها در هنگام برقراری آرامش در محیط رسوبی جانداران میکروسکوپی نظیر سیانوباکتری‌ها و جلبک‌های اندولیتیک با تجمع در اطراف دانه‌های ائید، بایوکلاست‌ها و آنکوئیدها موجبات میکریتی شدن دانه‌ها را فراهم می‌آورند. گاهی ائیدها و بایوکلاست‌ها به طور کامل میکریتی شده‌اند و گاهی با پوشش‌های میکریتی در رخساره‌های سد و دریای باز مشاهده می‌شوند ولی به طور کلی این پدیده شاخص محیط‌های رسوبی کم انرژی و محدود شده می‌باشد (شکل ۹-C). در نمونه‌های مطالعه شده، میکریتی شدن به خصوص در کیفیت مخزنی رخساره‌های بایوکلاستیک و ائیدی موثر بوده، زیرا مقاومت شدن قطعات بایوکلاستی و ائیدی میکریتی شده مانع از انحلال کامل آنها در طی فرآیندهای ایجاد کننده تخلخل‌های قالبی شده است.

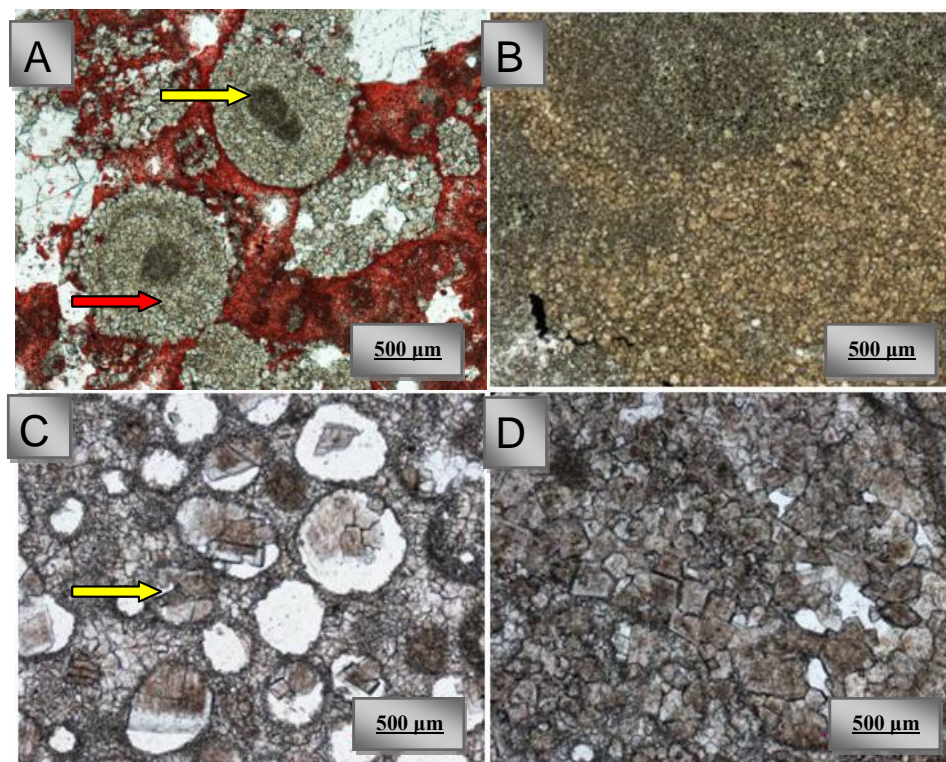
دولومیتی شدن

دولومیتی شدن در سازند دالان از مهم‌ترین فرآیندهای دیاژنز می‌باشد. این فرآیند بیش از ۷۰ درصد توالی را در سنگ مخزن تحت تأثیر قراردادده است و به طور کل دولومیتی شدن باعث افزایش کیفیت مخزنی سازند دالان شده است. براساس مطالعات پتروگرافی دولومیت‌های مشاهده شده در سازند دالان عبارتند از دولومیت نوع اول یا دولومیکرایت، دولومیت نوع دوم یا

¹ Pore water

سیمان دولومیتی: این نوع سیمان به شکل بلورهای درشت یا رمبوند‌های شکل‌دار بوده که در مراحل اولیه دیازنز تدفینی تشکیل گردیده‌اند. این نوع سیمان می‌تواند در مراحل نهایی دیازنز به علت مهاجرت سیالات غنی از منیزیم نیز تشکیل گردد (Hood et al. 2004). در سازند دالان بلورهای شکل‌دار دولومیت در امتداد سطوح استیلولیت نیز به وجود آمده‌اند. همچنین این سیمان‌ها به دلیل پرکردن تخلخل‌های قالبی و یا حفره‌ای در ژرفاهای متوسط تا زیاد و پس از فرآیند انحلال تشکیل شده‌اند (شکل ۸- D).

دولومیت نوع سوم یا دولواسپارایت: اندازه بلورها در این نوع دولومیت‌ها بین ۶۲ تا حدود ۲۵۰ میکرون در تغییر است. دولومیت‌های نوع سوم بیانگر جانشینی دیاژنتیکی سنگ آهک‌های قبلی و یا تبلور مجدد دولومیت‌های تشکیل شده اولیه می‌باشند، و از نظر زمانی بعد از دولومیت‌های نوع اول و دوم ایجاد شده‌اند (Adabi 2009). از نظر بافتی این نوع دولومیت مخرب و به طور گسترده‌ای تعدیل‌کننده و یا محو‌کننده آثار دیاژنز اولیه است، بنابراین در این نوع دولومیت بافت رسوبی اولیه قابل تشخیص نیست. این نوع دولومیت دارای فراوانی قابل ملاحظه‌ای در سازند دالان می‌باشد (شکل ۸- C).



شکل ۸- A: دولومیکریت (فلش زرد) به همراه دولومیکرواسپارایت (فلش آبی) در زمینه (مقطع شماره ۳۹، عمق ۲۹۶۶،۱۱ متر، PPL)، B: دولومیکرواسپارایت (ائید دولومیتی شده (Dolomitic ooids)، مرکز کدر و حاشیه شفاف نشان می‌دهد که محلول دولومیت‌ساز نسبت به کلسیت نزدیک به اشباع است، مقطع رنگ‌آمیزی شده، مقطع شماره ۷۸۸، عمق ۲۹۶۳،۵ متر، PPL)، C: دولواسپارایت (مقطع شماره ۲۵۱، عمق ۳۰۵۶،۴۶ متر، PPL)، D: رخساره ائیدی متوسط تا دانه درشت که فضای بین دانه‌ها توسط سیمان کلستی قالب‌ائیدها توسط سیمان دولومیتی پر شده است (مقطع شماره ۲۵۰، عمق ۳۰۵۶،۰۹ متر، PPL).

سیمان محیط‌های متئوریک (Longman 1980) یا دریایی (Walker et al. 1990) محسوب می‌شود. از آن جایی که سیمان‌های هم‌محور در سازند دالان دارای اینکلوزیون‌های میکریتی بوده و در نتیجه به صورت کدر دیده می‌شوند می‌توان تشکیل آن را به محیط وادوز دریایی نسبت داد (شکل ۹-D).

سیمان دندان سگی: در سازند دالان سیمان دندان سگی، نظیر سیمان‌های ایزوپکوس هم‌ضخامت عموماً در رخساره‌های پرانرژی وابسته به پشته‌های سدی کربناته ملاحظه می‌شود، همچنین شواهد بافتی از قبیل پوشیده شدن این سیمان توسط سیمان‌های بلوکی و بلوکی دروزی نشان‌دهنده شکل‌گیری آنها در محیط متئوریک است. در سازند دالان سیمان دندان سگی با منشا جوی فضاهای بین‌دانه‌ای را در رخساره‌های پشته‌های کربناته ائیدی پر می‌کند (شکل ۱۰-A). سیمان دندان سگی اغلب در محیط متئوریک و تدفینی کم عمق یافت می‌شود اما همچنین منشا فراتیک دریایی^۱ و هیدرترمال را هم برای آن در نظر می‌گیرند (Flugel 2010).

سیمان کلسیت هم‌بعد: این نوع سیمان حفرات و فضاهای بین دانه‌ای را به صورت بلورهای موزائیکی در سازند دالان پر کرده است (شکل ۱۰-B). به طور عمده در رخساره‌های گرینستونی دارای تخلخل قالبی یافت می‌شود، لذا می‌تواند در ارتباط با انحلال قطعات ناپایدار باشد. سیمان‌های کلسیتی هم‌بعد تپیک محیط‌های متئوریک و دفنی می‌باشند (Given and Wilkinson 1987). افزایش نسبی فشار CO_2 و CO_3^{2-} باعث افزایش رسوب سیمان کلسیت هم‌بعد می‌گردد، از این رو بهترین محل برای تشکیل این نوع سیمان زون فراتیک متئوریک در شرایط کاهش نسبی دما و جریان مایعات غیرآشسته می‌باشد.

سیمان کلسیت دروزی: سیمان دروزی به همراه سیمان

سیمانی شدن: به طور کلی سیمان‌های موجود در سنگ مخزن بر اساس کانی‌شناسی به دو گروه اصلی کربناته و تبخیری تقسیم می‌شوند. سیمان ائیدریتی نسبت به سیمان کلسیتی بخش زیادی از سازند دالان را به خود اختصاص داده است.

سیمان کلسیتی

سیمان فیبری هم‌ضخامت: در سازند دالان، این نوع سیمان عمدتاً در رخساره‌های مرتبط با پشته سدی کربناته و به خصوص در رخساره‌های بخش مرکزی و بخش رو به دریای پشته‌های سدی مشاهده می‌شود. این سیمان در اطراف قطعات فسیلی از قبیل دوکفه‌ای‌ها و نیز در رخساره‌های گرینستون ائیدی در اطراف ائیدها و آنکوئیدها و در رخساره‌های ایتراکلسیتی در اطراف ایتراکلسیت‌ها مشاهده می‌شود (شکل ۹-A). براساس دلایل پتروگرافی از قبیل تشکیل سیمان‌های هم‌ضخامت قبل از سیمان‌های دیگر، داشتن فابریک سوزنی یا فیبری، تشکیل حاشیه هم‌ضخامت در اطراف دانه به عنوان سیمان دریایی در نظر گرفته می‌شود (Adabi and Rao 1991; Given and Wilkinson 1987).

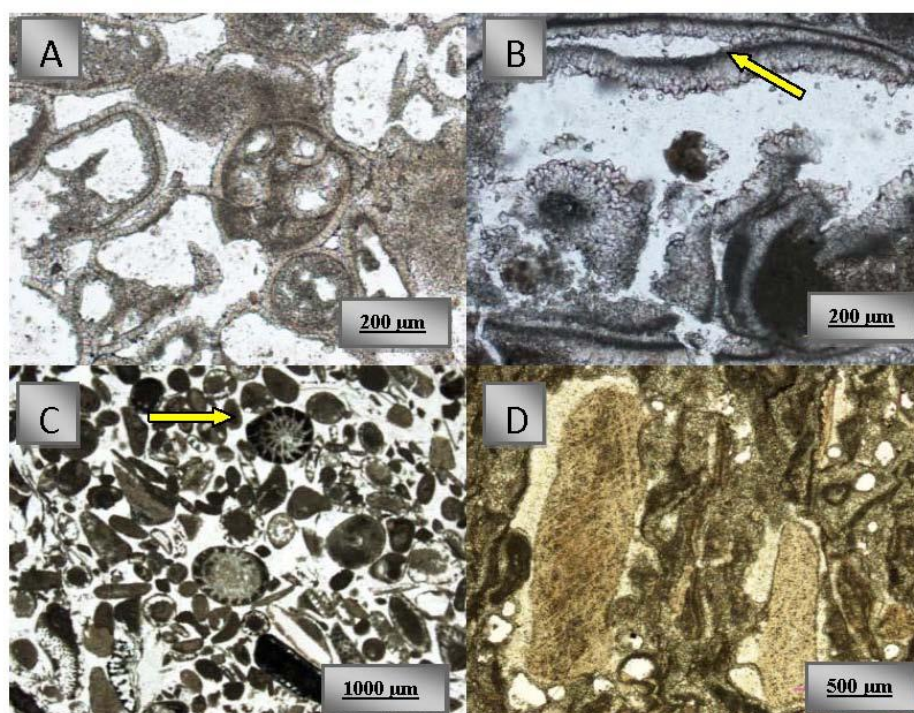
سیمان تیغه‌ای: در سازند دالان سیمان تیغه‌ای بر روی آلوکم‌ها و در درون فضاهای خالی مشاهده می‌شود که دارای بلورهای غیرهم‌اندازه می‌باشند (شکل ۹-B). این سیمان دریایی اغلب به صورت هم‌ضخامت دیده می‌شوند و نشان‌دهنده نسل اول سیمان‌شدگی می‌باشد، در حالی که سیمان مذکور در محیط متئوریکی هم مشاهده می‌شود (Longman 1980).

سیمان سین تاکسیال: این سیمان در صورتی که دارای ظاهر کدر و ابری باشد خاص محیط‌های دیاژنز دریایی می‌باشد اما در صورتی که دارای بلورهای شفاف و روشن باشد مربوط به محیط‌های متئوریک و تدفینی می‌باشد (Tucker 2001). این نوع سیمان اغلب به عنوان

¹ Marine-Phreatic

کلسیت هم‌بعد در سازند دالان تداخل‌های بین دانه‌ای و قالبی را به طور کامل و ناقص پر کرده و سبب کاهش کیفیت مخزنی شده است (شکل C-۱۰). محققین درشت‌تر شدن بلورها به طرف مرکز حفرات را یکی از ویژگی‌های سیمان‌های فراتیک آب شیرین می‌دانند. هرچند که این نوع سیمان در محیط تدفین عمیق‌تر نیز تشکیل می‌شود (Choquette and James 1987; Flügel 2010).

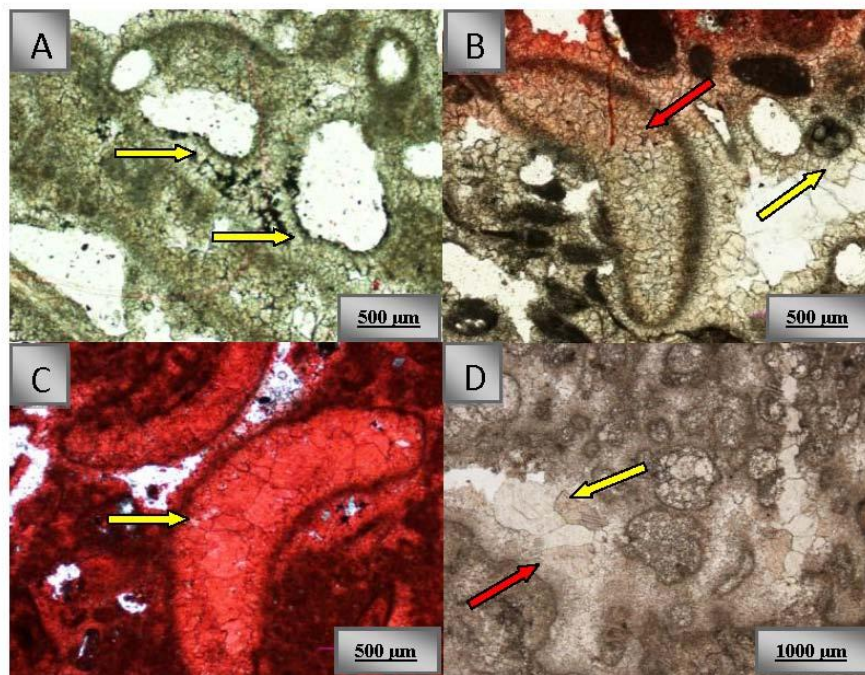
سیمان کلسیت بلوکی: سیمان بلوکی یا به عنوان سیمان دیاژنتیکی تأخیری فضای خالی باقی مانده بین ذرات را پر می‌کند (شکل D-۱۰) و یا اینکه بعد از انحلال دانه‌های آراگونیتی و سیمان‌های پیشین ته‌نشست می‌یابد (Flügel 2010). تشکیل این نوع از سیمان‌ها در محیط‌های دیاژنتی تدفینی متوسط تا عمیق تفسیر می‌شود (Choquette and James 1987; Tucker and Wright 1990).



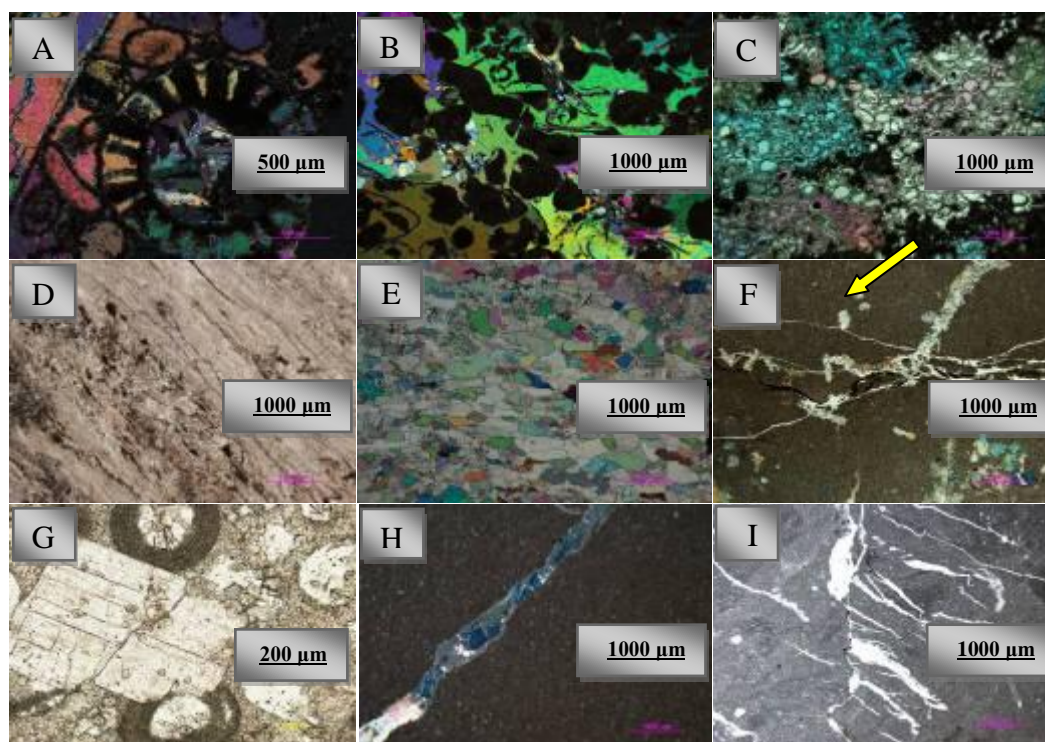
شکل ۹- A: سیمان فیبری هم‌ضخامت در اطراف انیدها و قطعات ایتراکلسیتی در یک رخساره ائید- ایتراکلسیت گریستون که آلوکم‌ها دچار انحلال تأخیری شده‌اند ولی سیمان فیبری به دلیل ترکیب مینرالوژی پایدار (تبدیل آراگونیت به کلسیت) قبل از انحلال آلوکم‌ها، دچار انحلال نشده است بنابراین فرآیندهایی چون انحلال و دولومیتی‌شدن تأثیری بر روی سیمان ایزوپکوس ندارند، این موضوع می‌تواند نشان‌دهنده اختلاف ترکیبی بین سیمان مذکور و آلوکم‌ها باشد (مقطع شماره ۸۲۳، عمق ۳۲۹۸،۰۸ متر، PPL). B: سیمان تیغه‌ای هم‌ضخامت (فلش زرد) (مقطع شماره ۷۹۴، عمق ۳۲۸۶،۵۳ متر، PPL). C: میکریتی شدن در دیواره پوسته یک فسیل فرامینفر بنتیک (فلش زرد) (مقطع شماره ۷۲۲، عمق ۳۲۵۰،۹۰ متر، PPL). D: سیمان سین تاکسیال دریایی به دور خارپوست که سیمان دارای اینکلوزیون‌های میکریتی بوده و به حالت کدر دیده می‌شود که نشان‌دهنده منشأ دریایی این سیمان می‌باشد (مقطع شماره ۷۴۶، عمق ۳۲۶۵،۳ متر، PPL).

دیاژنز سطحی تا محیط تدفین کم عمق و عمیق تشکیل شده‌اند. بر این اساس گسترش لایه‌ها و نیز بلورها و ندول‌های پراکنده تبخیری در پهنه جزرومدی و سیخایی به صورت تقریباً همزمان با رسوب‌گذاری یا تحت تأثیر دیاژنز اولیه قابل تفسیر است. بافت‌های دیگر انیدریت مانند سیمان انیدریت فراگیر، بخش عمده سیمان انیدریت پوئیکیلوتوپیک و انیدریت پرکننده شکستگی‌ها طی مراحل دیاژنز تدفینی و با نفوذ شورابه‌های تبخیری به درون رخساره‌ها تشکیل شده‌اند. جدول ۲ توالی دیاژنتیکی بافت‌های مختلف انیدریت در سازند دالان را نشان می‌دهد.

سیمان تبخیری: به لحاظ پدیده‌های دیاژنزی سیمان انیدریتی بعد از پدیده دولومیتی شدن غالب‌ترین پدیده دیاژنزی در این سازند می‌باشد (Rahimpur-Bonab et al. 2010). فرآیندهای دیاژنزی مختلفی کیفیت مخزنی سازند دالان در میدان گازی پارس جنوبی را تحت تأثیر قرار داده است که یکی از مهمترین این فرآیندها تشکیل سیمان انیدریتی است که به صورت لایه‌ای، پوئیکیلوتوپیک، پرکننده تخلخل و فراگیر، ندولی، بلورهای پراکنده، پرکننده شکستگی و رگچه‌ای گسترش یافته است (شکل ۱۱). انواع بافت‌های مختلف انیدریت در مخازن مورد مطالعه طی مراحل مختلف از محیط



شکل ۱۰- A: سیمان دندان سگی (فلش زرد، مقطع شماره ۷۴۶، عمق ۳۲۶۵٫۳ متر، PPL)، B: سیمان کلسیتی هم‌بعد (فلش قرمز) در یک رخساره گرینستونی ایتراکلسیتی- بایوکلاستی که به طور کامل فضای خالی یک بایوکلاست را پر نموده است و سیمان کلسیتی دندان سگی (فلش زرد) در اطراف یک حفره خالی انحلالی قابل مشاهده است (مقطع رنگ‌آمیزی شده، مقطع شماره ۶۵۰، عمق ۴۲٫۳۲۳۰ متر، PPL)، C: سیمان دروزی (فلش زرد) در فضای داخلی پوسته براکیوپود (اندازه ذرات به طرف مرکز افزایش یافته است، مقطع رنگ‌آمیزی شده، مقطع شماره ۷۴۹، عمق ۳۲۶۷٫۱۵ متر، PPL)، D: سیمان بلوکی دارای رخ (فلش زرد) (که فضای بین دانه‌ای را پر کرده است. پوشیده شدن سیمان ایزوپک دریایی (فلش قرمز) توسط سیمان فوق نشان‌دهنده منشا متئوریکی سیمان بلوکی می‌باشد، مقطع شماره ۳۲۸، عمق ۹۷٫۳۰۸۳ متر، PPL).



شکل ۱۱- A, B: سیمان انیدریت پوئیکلوتوپیک به صورت بلورهای درشت با رخ مشخص که جانشین ماتریکس و آلوکم‌ها در یک رخساره انید-بایوکلاست گرینستون شده است (مقطع شماره ۸۵۴، عمق ۳۳۱۶,۱۰ متر، XPL)، C: جانشینی دانه‌ها (انیدها) توسط سیمان انیدریت فراگیر (تخلخل‌های قالبی حاصل از انحلال انیدها توسط سیمان انیدریتی فراگیر پر شده است که این امر سبب کاهش کیفیت مخزنی شده است، مقطع شماره ۴۵۶، عمق ۳۱۴۴,۴۷ متر، XPL)، D: انیدریت لایه‌ای در نورمعمولی (مقطع شماره ۱۴۴، عمق ۳۰۱۸,۹ متر، PPL)، E: انیدریت لایه‌ای با بافت متراکم و در هم فشرده و بلورهای هم‌بعد با جهت‌گیری نیمه موازی (مقطع شماره ۱۸۴، عمق ۳۰۳۲,۹۱ متر، XPL)، F: ندول‌های انیدریت (در امتداد استیلولیت که بیانگر تشکیل آنها طی دیاژنز دفنی می‌باشد (فلش زرد)، مقطع شماره ۵۴۲، عمق ۳۱۷۴,۹۵ متر، XPL)، G: بلور تبخیری منفرد در یک رخساره گرینستون انیدی (مقطع شماره ۷۱۹، عمق ۳۲۵۴,۸۹ متر، PPL)، H: سیمان انیدریت پرکننده شکستگی در یک رخساره مادستونی (مقطع شماره ۸۱۱، عمق ۳۲۹۲,۱۳ متر، XPL)، I: رگچه‌های تبخیری در رخساره دولومادستونی (مقطع شماره ۴۱۱، عمق ۳۱۲۲,۱۲ متر، PPL).

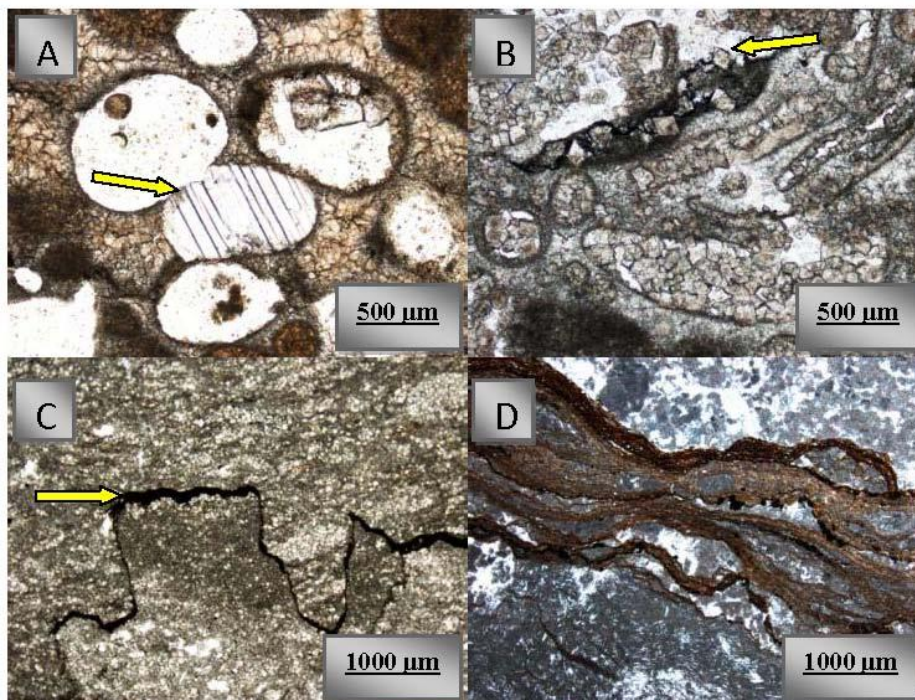
بایوکلاستیک گرینستون موجبات انحلال ذرات ناپایدار انیدی یا بایوکلاستی که دارای دیواره آراگونیتی یا کلسیت پرمینزیم بوده‌اند، را فراهم آورده و باعث توسعه تخلخل‌های قالبی و حفرات (Vuggy) درون ماتریکس سنگ شده‌اند (شکل ۱۲-A).

تراکم: در حین تدفین رسوبات، تراکم فیزیکی و سپس تراکم شیمیایی آغاز می‌شود. تراکم فیزیکی در سازند

انحلال: انحلال یکی از مهمترین فرآیندهای دیاژنتیکی مؤثر بر سازند دالان می‌باشد که سبب تشکیل تخلخل‌های قالبی، تخلخل‌های حفره‌ای (Lucia 2007) و انحلال در امتداد استیلولیت گردیده است. در سازند دالان آب‌های با منشأ متئوریک در موارد متعددی که توالی‌های کربناته به سطح زمین نزدیک شده‌اند با عبور از واحدهای کربناته به خصوص توالی‌های انیدی/

فرآیند انحلال- فشار در سازند دالان می‌باشد (شکل ۱۲- C). یکی از دلایل بالا رفتن میزان تراوایی در برخی از رخساره‌های لاگونی گسترش استیلولیت در آنهاست. آثار مواد آلی و اکسیدهای آهن در لابه‌لای استیلولیت‌ها و رگچه‌های انحلالی (شکل ۱۲- D) همچنین گسترش دولومیت‌های دفنی در امتداد استیلولیت‌ها (شکل ۱۲- B) شواهدی برای توجیه نقش آنها در عبور سیالات دیاژنزی و تدفینی می‌باشد.

دالان موجب فشرده‌شدن و نزدیک‌شدن آلوکوم‌ها به یکدیگر شده و در مواردی سبب کشیدگی و جهت‌گیری بایوکلاست‌ها به موازات لایه‌بندی گردیده است. فشرده‌شدن دانه‌ها سبب ایجاد تماس طولی (خطی)، نقطه‌ای و محدب و مقعر و در مواردی سبب شکستگی دانه‌ها گردیده است (شکل ۱۲- A). در سازند دالان تراکم شیمیایی با انحلال فشاری سبب تشکیل استیلولیت و رگچه‌های انحلالی در زمینه سنگ یا مرز بین دانه‌ها شده است. استیلولیت رایج‌ترین و مهمترین محصول



شکل ۱۲- A: تماس خطی بین انیدها در اثر تراکم در یک رخساره گرینستونی ائیدی (ذرات ائیدی انحلال پیدا کرده و باعث تشکیل تخلخل قالبی شده است که این تخلخل‌ها در برخی موارد با انیدریت پر شده‌اند (فلش زرد)، مقطع شماره ۶۸۶، عمق ۳۲۴۳،۰۶ متر، PPL). B: تشکیل رمبوئدرهای دولومیت در امتداد استیلولیت (استیلولیت توسط چند رمبوئدر دولومیتی قطع شده است. این نشان می‌دهد که رمبوئدرها از نظر زمانی بعد از فرآیند استیلولیتی شدن تشکیل گردیده‌اند (فلش زرد)، همچنین فضاهای خالی حاصل از انحلال آلوکوم‌ها توسط دولومیکرواسپارایت پر شده‌اند، مقطع شماره ۳۶، عمق ۲۹۶۳،۱۷ متر، PPL). C: تمرکز پیریت در امتداد استیلولیت (فلش زرد)، (مقطع شماره ۸۴، عمق ۲۹۸۸،۵ متر، PPL). D: رگچه‌های انحلالی (که اکسید آهن در امتداد آنها نهشته شده است، مقطع شماره ۱۵۳، عمق ۳۰۲۲،۵۷ متر، PPL).

بیشترین نوع تخلخل مشاهده شده در سازند دالان می‌باشد.

تخلخل فنسترال: در سازند دالان این نوع تخلخل، عمدتاً در رخساره‌های مادستونی و دولومادستونی که دارای فابریک فنسترال هستند دیده می‌شود (شکل ۱۳-۱-D). و عمدتاً در محیط‌های سوپراتایدال و اینترتایدال و در رسوبات گل پشتیبان تشکیل می‌شود (Flügel 2010).

تخلخل حفره‌ای: در سازند دالان این نوع تخلخل، در بسیاری از واحدها از جمله رخساره‌ها و واحدهای مرتبط با لاگون دیده می‌شود و عمدتاً دارای اشکال نامنظم است و احتمالاً دلایل متعددی نظیر انحلال در ماتریکس سنگ‌های دانه پشتیبان توسط سیالات متشوریک یا شورابه‌های مشتق شده از پهنه سبخایی، همچنین پدیده دولومیتی شدن خصوصاً در واحدهایی که زمینه سنگ نیز دولومیتی شده است در شکل‌گیری این فضاهای خالی مؤثر بوده‌اند (شکل ۱۳-E).

تخلخل کانالی: این نوع تخلخل از اتصال شکستگی‌های ریز و در بعضی از موارد در اثر انحلال در امتداد استیلولیت‌ها ایجاد شده‌اند (شکل ۱۳-F).

جدول ۱ توالی پاراژنتیکی سازند دالان را نشان می‌دهد.

با توجه به فرآیندهای دیاژنزی مؤثر بر سازند دالان مدل دیاژنزی ارائه گردیده است که این مدل شامل ۴ مرحله زیر می‌باشد.

مرحله اول: رسوب‌گذاری

در این مرحله رسوبات همزمان با رسوب‌گذاری تحت تأثیر قرار می‌گیرند. در این مرحله ابتدا در طی بالابودن سطح آب دریا رسوب‌گذاری با نرخ‌های گوناگون در

تخلخل: مهمترین انواع تخلخل مشاهده شده در سازند دالان شامل تخلخل‌های قالبی، حفره‌ای، بین‌بلوری، درون‌دانه‌ای و در نهایت تخلخل‌های ناشی از شکستگی‌ها، استیلولیت‌ها و فنسترال می‌باشند. جهت تقسیم‌بندی تخلخل‌های مشاهده شده در سازند دالان از طبقه بندی چوکت و پری (۱۹۷۰) استفاده شده است.

تخلخل‌های اولیه مشاهده در سازند دالان عبارتند از: تخلخل درون‌دانه‌ای: این نوع تخلخل عمدتاً در رخساره‌های بایوکلاستی در محیط لاگونی از جمله گرینستون جلبکی و در جلبک‌های سبز، فرامینیفرها و گاستروپودها دیده می‌شود که عمدتاً توسط سیمان‌های اندریتی و کلسیتی طی دیاژنز متشوریکی پر شده‌اند (شکل ۱۳-A).

تخلخل بین‌دانه‌ای: این نوع تخلخل در بین دانه‌های ائید و پلوئید ریز دانه دولومیتی و دانه‌های اسکلتی و اینتراکستی در رخساره‌های سازند دالان که غنی از دانه هستند از جمله رخساره‌های گرینستون ائیدی اینتراکستی به خوبی گسترش یافته است (شکل ۱۳-B).

تخلخل‌های ثانویه مشاهده در سازند دالان

تخلخل قالبی: تخلخل‌های قالبی الیتی با حفرات متوسط تا بزرگ از مهمترین انواع تخلخل قابل رویت بر روی نمونه‌های مغزه این سازند هستند. مهمترین رخساره‌های مخزنی دربرگیرنده این نوع تخلخل رخساره‌های گرینستونی پشته‌های ائیدی دولومیتی شده^۱ متعلق به بخش مرکزی پشته‌های سدی می‌باشند و همچنین در ارتباط با انحلال بایوکلاست‌ها در رخساره‌های پکستونی و وکستونی می‌باشد (شکل ۱۳-C). تخلخل قالبی

¹ Oomlodic

مرحله بسیاری از تخلخل‌های اولیه با سیمان انیدریت از بین رفته و کیفیت مخزنی به ویژه در رخساره‌های سدی کاهش می‌یابد.

مرحله سوم: دیاژنز متئوریک

در ادامه کاهش سطح آب دریا تپه‌های ماسه‌ای ائیدی از آب خارج شده و تحت تأثیر آب‌های جوی قرار می‌گیرند که در این مرحله انحلال و ایجاد تخلخل‌های ثانویه نظیر قالب‌های ائیدی به طور گسترده‌ای حضور دارد.

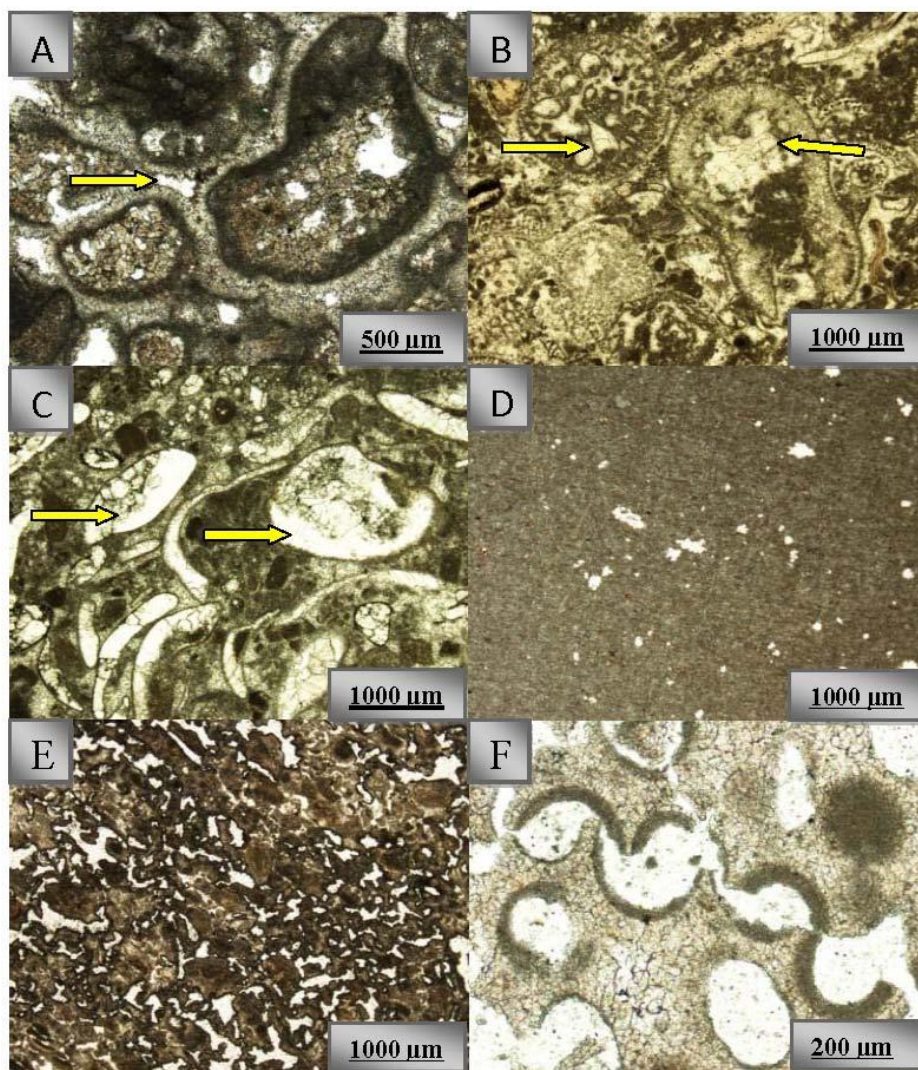
مرحله چهارم: دیاژنز تدفینی

در این مرحله فرآیندهای دیاژنزی نظیر دولومیت‌های نوع سوم، سیمانی شدن (سیمان دولومیتی و پوئیکیلوتوپیک)، تراکم، شکستگی، استیلولیتی شدن شکل می‌گیرد و انحلال و دولومیتی شدن کمتر صورت می‌پذیرد. در این مرحله امکان از بین رفتن تخلخل‌های قبلی به مقدار زیادی وجود دارد.

جایگاه‌های مختلف رسوب‌گذاری صورت می‌گیرد. افزایش تبخیر در این مرحله با شکل‌گیری دولومیت‌های اولیه و بلورها و گرهک‌های انیدریت در محیط جذرومدی همراه است. فعالیت موجودات میکروسکوپی در محیط‌های جذرومدی با توالی رسوب و آشفستگی زیستی و میکربیتی شدن ذرات در محیط‌های لاگونی همراه است. بر اثر انرژی امواج علاوه بر تشکیل ائیدها و گسترش تپه‌های ماسه‌ای، با تشکیل سیمان‌های دریایی (سیمان فیبری هم ضخامت و تیغه‌ای) نیز همراه است. تخلخل‌های اولیه در این مرحله شکل می‌گیرند.

مرحله دوم: دیاژنز هایپرسالین

حاکم شدن شرایط گرم و خشک در اواخر پرمین و اوایل تریاس با تبخیر شدید و تشکیل شورابه‌های فوق‌العاده شور (هایپرسالین) در محیط محدود شده دریا همراه بوده است. نفوذ شورابه‌ها در رسوبات قبلی با دولومیتی شدن و تشکیل سیمان‌های انیدریتی همراه بوده است. در این



شکل ۱۳- A: تخلخل بین دانه‌ای در یک رخساره گرینستونی (سیمان فیبری دریایی در اطراف دانه‌ها بخشی از تخلخل‌های بین دانه‌ای را پر کرده است (فلش زرد)، مقطع شماره ۶۷۷، عمق ۳۲۳۹٫۹۳ متر، PPL)، B: تخلخل درون دانه‌ای (در داخل قطعات جلبکی در یک رخساره گرینستونی جلبکی که سیمان کلسیتی بلوکی این تخلخل‌ها را پر کرده است (فلش زرد)، مقطع شماره ۵۷۲، عمق ۳۱۸۹٫۵۸ متر، PPL)، C: تخلخل‌های قالبی (حاصل از انحلال بایوکلاست‌ها در یک رخساره گرینستونی بایوکلاستی که توسط سیمان کلسیتی پر شده‌اند (فلش زرد)، مقطع شماره ۷۲۰، عمق ۳۲۵۵٫۱۶ متر، PPL)، D: تخلخل فنسترال در یک رخساره مادستونی (فابریک فنسترال از شاخصه‌های مهم جهت شناسایی محیط‌های پهنه جزرومدی می‌باشد، مقطع شماره ۵۳۳، عمق ۳۱۷۱٫۸۴ متر، PPL)، E: تخلخل حفره‌ای در یک رخساره گرینستون ائیدی (مقطع شماره ۶۴۲، عمق ۳۲۲۷٫۳۳ متر، PPL)، F: تخلخل‌های قالبی حاصل از انحلال ائیدها توسط فرآیندهای دیاژنزی از جمله استیلولیت به هم متصل شده و تخلخل کانالی تشکیل داده‌اند (مقطع شماره ۷۲۰، عمق ۳۲۵۵٫۱۶ متر، PPL).

جدول ۱- توالی پاراژنتیکی سازند دالان در چاه شماره X.

Diagenetic Events	Early	Middle	Late
Micritization	—————		
Isopachous Fibrous Cement	—————		
Dolomicrite		———	
Primary Porosity	—————	
Bladded Cement		—————	
Syntaxial Cement	—————
Pyritization		—————
Dolomicrosparite	—————	
Dolosparite			—————
Dog Tooth Cement			—————
Equant Calcite Cement			—————
Drusy Calcite Cement			—————
Blocky Calcite Cement			—————
Dissolution		—————
Physical Compaction	—————	
Chemical Compaction			—————
Secondary Porosity		—————
dolomite cement		

جدول ۲- توالی دیاژنتیکی انواع بافت‌های مختلف انیدریت در سازند دالان.

Texture	Diagenetic Environment		
	Early	Middle	Late
Sparse evaporite crystal	—————		
Nodular anhydrite	—————	-----	
Anhydrite layer	—————		
Pervasive anhydrite		—————	
Pioikilotopic anhydrite		—————	
Evaporite veins		—————	
Fracture filling evaporite			—————

نتیجه‌گیری

سازند دالان به سن پرمین در چاه شماره X به ضخامت ۳۷۱ متر دارای لیتولوژی غالب آهک و دولومیت می‌باشد با مطالعه مقاطع نازک تعداد ۱۸ میکروفاسیس مربوط به زیرمحیط‌های پهنه جزرومدی، لاگون، پشته کربناته و دریای باز شناسایی شده است. مطالعه رخساره‌های میکروسکوپی و مقایسه با رخساره‌های استاندارد فلوگل (Flügel 2010)، و به دلیل عدم وجود ریف‌های بزرگ سدی و نهشته‌های توریدایتی، گسترش نسبی پهنه‌های جزرومدی همراه با رخساره‌های سدی انیدری و تغییر تدریجی رخساره‌ها به یکدیگر، محیط رسوبی سازند

دالان یک پلاتفرم کربناته از نوع رمپ هم‌شیب^۱ است. به طور کلی رمپ کربناته سازند دالان در ناحیه مورد مطالعه از سه قسمت اصلی تشکیل شده است که شامل رمپ داخلی^۲ با کمربندهای رخساره‌ای پهنه جزرومدی و لاگون محدود شده، رمپ میانی^۳ با کمربندهای رخساره‌ای پشته کربناته زیرآبی انیدری بایوکلاستی که حد فاصل لاگون و دریای باز می‌باشد و رمپ خارجی^۴ که در دورترین بخش پلاتفرم به سمت دریای باز قرار

¹ Homoclinal

² Inner Ramp

³ Middle Ramp

⁴ Outer Ramp

- Adabi, M.H., M.A. Salehi. and A. Ghobeishavi. 2010. Depositional environment, sequence stratigraphy and geochemistry of Lower Cretaceous carbonates (Fahliyan Formation), South-west Iran: *Journal of Asian Earth Sciences*, v. 39, p. 148-160.
- Adabi, M.H., 2009, Multistage dolomitization of Upper Jurassic Mozduran Formation, Kopet-Dagh Basin, N.E. Iran: *Carbonates and Evaporites*, v. 24, no. 1, p. 16-32.
- Adabi, M.H., and C.P., Rao, 1996, Petrographic, elemental and isotopic criteria for the recognition of carbonate mineralogy and climates during the Jurassic (e.g. from Iran and England): *13th Geology. Conv. Australia*, (abst), p. 6.
- Adabi, M.H., and E. Asadi Mehmandosti, 2008. Microfacies and geochemistry of the Ilam Formation in the Tang-E Rashid area, Izeh, S.W, Iran: *Journal of Asian Earth sciences*, v. 33, p. 267-277.
- Adabi, M.H., and C.P. Rao, 1991, Petrographic and geochemical evidence for original aragonitic mineralogy of Upper Jurassic carbonate (Mozduran Formation) Sarakhs area, Iran: *Sedimentary Geology*, v. 72, p. 253-267.
- Aali, J., H. Rahimpour-Bonab, and M.R. Kamali, 2006. Geochemistry and origin of the world largest gas field from Persian Gulf, Iran: *Journal of Petroleum of Science and Engineering*, v. 50, p. 161-175.
- Bassi, D.L., Hottinger, and H. Nebelsick, 2007, Larger Foraminifera from the Upper Oligocene of the Venetian area, northeast
- داشته و با کمر بند رخساره‌ای دریای باز مشخص می‌گردد.
- عمده سیمان‌های موجود در این سازند عبارتند از سیمان انیدریتی، سیمان فیبری هم‌ضخامت، سیمان بلوکی و سیمان دولومیتی می‌باشد. و سیمان انیدریتی دارای فراوانی بیشتری نسبت به سیمان کلسیتی می‌باشد. نتایج این مطالعه نشان می‌دهد که سیمان انیدریت پرکننده تخلخل و فراگیر نسبت به دیگر انواع بافت‌های انیدریت بیشترین تأثیر را بر کیفیت مخزنی داشته است و با گسترش در بین رخساره‌های دانه غالب مخزن طی مراحل تدفین کم‌عمق، تخلخل و تراوایی آنها را به شدت کاهش داده است. اما از طرف دیگر تأثیر فرآیندهای دیگری مانند شکستگی و به ویژه انحلال را در این رخساره‌ها طی مراحل بعدی دیاژنز باید در بررسی‌های مخزنی مد نظر داشت. انحلال و تخلخل فراگیر به دلیل ترکیب کانی شناسی اولیه آراگونیتی است.
- با توجه به فراوانی بالای استیلولیت و رگچه‌های انحلالی، دولومیت‌های تشکیل شده در امتداد استیلولیت و فراوانی دولومیت نوع دوم و سوم، انحلال در حد گسترده، دیاژنز متشوریک و پس از آن دیاژنز تدفینی، دیاژنز غالب در این سازند می‌باشد.
- منابع**
- لطف پور، م.، م.ح. آدابی، ع. صادقی، س.ع. معلمی، ۱۳۸۴، بررسی محیط‌های رسوبی و چینه‌شناسی سازند دالان در ناحیه زاگرس (نواحی کوه دنا و کوه سورمه): *مجله علوم دانشگاه تهران*. جلد سی و یکم. ش ۱، ص. ۱۹۹-۲۲۸.
- آدابی، م.ح.، ۱۳۸۳- ژئوشیمی رسوبی، انتشارات آراین زمین، ۴۴۸ ص.

- constraints on rates and mechanism of phanerozoic dolostone formation: *Journal of Sedimentary Petrology*, v. 57 p. 1068-1078.
- Heydari, E., N. Arzani, and J. Hassanzadeh, 2009. Reply to comment on Mantle Plume: the invisible serial killer-APPLICATION to the Permian-Triassic boundary mass extinction: *Palaeogeography, Palaeoclimatology, Palaeoecology*, p. 147-162.
- Hips, K., and J. Hass, 2006, Calcimicrobial stromatolites at the Permian-Triassic boundary in a western Tethyan section , Bukk Mountains, Hungary: *Sedimentary Geology*, v. 185, p. 239- 253.
- Hood, S.D., C.S. Nelson, & P.J.J. Kamp, 2004, Burial dolomitisation in a non-tropical carbonate petroleum reservoir: the Oligocene Tikorangi Formation, Taranaki Basin, New Zealand: *Sedimentary Geology*, v. 172, p. 117-138.
- Insalaco, E., A. Virgone, B. Courme, J. Gaillot, M. Kamali, A. Moallemi, M. Lotfpour, and S. Monibi, 2006, Upper Dalan Member and Kangan Formation between the Zagros Mountains and offshore Fars, Iran: Depositional system, biostratigraphy and stratigraphic architecture: *Geo Arabia*, v. 11, p.75-176.
- Konyuhov, A.I., and B. Maleki, 2006, The Persian Gulf Basin: Geological history, sedimentary formations, and petroleum potential: *Lithology and Mineralogy Resources, Russia*, v. 4, p. 334-361.
- Kashfi, M.S., 2000, Greater Persian Gulf Italy: *Palaeontology*, v. 50, no. 4, p. 845-868.
- Boggs, S.Jr., 2009, *Principles of Sedimentology and Stratigraphy*. University of Oregon. 660p.
- Burchette, T.P., and V.P., Wright, 1992, Carbonate ramp depositional systems: *Sedimentary Geology*, v. 79, p.3-57.
- Choquette, P.W., and N.p. James, 1987, Diagenesis in limestones-3, the deep burial environment: *Geoscience Canada*, v. 14, p. 3-35.
- Choquette P.W., and L.C. Pray 1970, Geologic nomenclature and classification of porosity in sedimentary carbonates: *American Association of Petroleum Geologists Bulletin*, v. 54, p. 207-250.
- Dickson, J.A.D., 1965, A modified staining technic for carbonate in thin section: *Nature*, v. 205, p. 587.
- Dunham, R.J., 1962, Classification of Carbonate Rocks according to depositional texture, in: *classification of carbonate rocks*, Ham, W. E (Ed), AAPG Memoir, p. 108-121.
- Flügel, E., 2010, *Microfacies of Carbonate Rocks, Analysis, Interpretation and Application*, Springer Verlag, Berlin, 984p.
- Geel T., 2000, Recognition of stratigraphic sequences in carbonate platform and slope deposits: empirical models based on microfacies analysis of Paleogene deposits in southeastern Spain: *Palaeogeography, Palaeoclimatology, Palaeoecology*. v. 155, p. 211-238.
- Given and Wilkinson B.H., 1987, Dolomite abundance and stratigraphic age:

- 2007, Oxfordian ramp system (La Manga formation) in the Bardas Blances area (Mendoza Province) Neuoruen sequences. Een Basin, Argentina: Facies and Depositional Sedimentary Geology, p. 113-134.
- Rahimpour-Bonab, H., B. Esrafil-Dizaji, and V. Tavakoli, 2010, Dolomitization and anhydrite precipitation in Permo-Triassic carbonates at the South Pars Gasfield, offshore Iran: controls on reservoir quality: *Petroleum Geology*, v. 33, p. 1-24.
- Rahimpour-Bonab, H., A. Asadi-Eskandar, and R. Sonei, 2009, Effect of Permian-Triassic boundary on reservoir characteristics of the South Pars gas field, Persian Gulf: *Journal of Geology*, 44:341-364.
- Reading, H.G., 1996, *Sedimentary Environments: Processes, Facies and Stratigraphy*: Blackwell Science, Inc. 688 p.
- Scholle, P.A., and D.S. Scholle, 2006, *A Color of Guide to the Petrography of Carbonate Rocks: Grains, Textures, Porosity, Diagenesis*, AAPG Memoir 77, 459p.
- Shine, E.A., 1983, Tidal flat environment. In: Scholle, P.A., Bebout, D.G., Moore, C.H. (Eds) *Carbonate depositional environments: American Association of Petroleum Geologists Memoir*, v. 33, p. 171-210.
- Sibley, D.F., and J.M. Gregg, 1987, Classification of dolomite rock texture: *Journal of Sedimentary Petrology*, v. 57, p. 967-975.
- Szabo, F., A. Kheradpir, 1978, Permian and Triassic Stratigraphy, Zagros Basin, Permian-Triassic stratigraphic nomenclature requires study: *Oil Gas Journal*. Tulsa 6, p.36-44.
- Kaufman, J., H.S. Cander, L.D. Daniels, and W.J. Meyers, 1988, Calcite cement stratigraphy and cementation history of the Burlington-Keokuk Formation (Missisipian); Illinois and Missouri: *Journal of Sedimentary Petrology*; v. 58, p. 3112-3126.
- Longman, M.W., 1980, Carbonate Diagenesis Texture from Near Surface Diagenetic Environment: *Marine and Petroleum Geology*, v. 19, p. 159-198.
- Lotfpor, M., S.A. Moallemi, M.H. Adabi, A. Taghavi, 2000, Reservoir evaluation of Dalan and Kangan Formations in the South Pars Field, NIOC-RIPI unpublished report, 250p.
- Lucia, F.J., 2007, *Carbonate Reservoir Characterization: An Integrated Approach* Springer, Second Edition, 366 p.
- Mancini, E.A., T.A. Blasingame, R.Archer, B.J. Panetta, J.C. Liinas, C.D. Haynes, and D.J. Benson, 2004, Improving recovery from mature oil fields producing from carbonate reservoir: Upper Jurassic Smackover Formation, Womack Hill field (eastern Gulf Coast, U.S.A): *AAPG Bulletin*, v. 88, no. 12, p. 1629-1651.
- Miall, A.D. 1991, Stratigraphic sequence and their chronostratigraphic correlation: *Journal of Sedimentary Petrology*., 61, 487-505.
- Miall, A.D., 1995, Whiter stratigraphy, *Sedimentary Geology*., 100, 5-20.
- Palma, R.M., J. Lopez-Gomez, and R.D., Piethe,

- overgrowths, and their distribution in geologic time: *Carbonates and Evaporites* v. 5, p. 141-151.
- Warren, J.K., 2006, *Evaporites: Sediments, Resources and Hydrocarbons*: Springer Verlag, 1035p.
- Wilson, J.L., 1975, *Carbonate Facies in Geologic History*: New York, Springer-Verlag, 471 p.
- southwest Iran: *Journal of Petroleum Geology*, v.1, p. 57-82.
- Tucker, M.E., 2001, *Sedimentary Petrology: An introduction to the origin of sedimentary rocks*: Blackwell Scientific Publication, 262 p.
- Tucker, M.E., and V.P. Wright, 1990, *Carbonate Sedimentology*: Oxford (Blackwell). 482p.
- Walker, K.R., D.G. Jernigan, and L.J. Weber, 1990, Petrographic criteria for the recognition of marine, syntaxial